



INDICADORES

Estadísticos y Epidemiológicos

INCART 2017-2021



Santo Domingo, República Dominicana
2023



Ministerio de Salud Pública

Dr. Daniel Rivera Reyes
Ministro

Dr. Eladio Pérez Antonio
Viceministro de Salud Colectiva

Lic. Miguel Antonio Rodríguez Viñas
Viceministro de Fortalecimiento y Desarrollo del Sector Salud

Dr. José Antonio Matos Pérez
Viceministro de Garantía de la Calidad de los Servicios

Lic. Leandro José Villanueva Acebal
Viceministro de Regulación, de Productos de Consumo Humano

Licda. Raysa Bello Arias de Peña
Viceministro de Asistencia Social

Dr. Fernando José Ureña González
Viceministro de Salud Pública y Asistencia Social

Servicio Nacional de Salud

Dr. Mario Lama
Director

Dr. Edison Rafael Féliz
Director Servicio Regional de Salud Metropolitano



**Instituto Nacional del Cáncer
Rosa Emilia Sánchez Pérez de Tavares**

Dr. José Ernesto Ramírez
Director General

Dr. Manuel Escarramán
Director Médico

Lic. Lisette Rodríguez
Directora Administrativa

Lic. Sandra Ciprián
Directora Financiera

Ing. Hiroito Nicolás Almonte
Director de Operaciones

Lic. Johanna Castillo
Directora Gestión Humana

Ing. David Montero
Director Tecnología de la Información

Lic. Haydee Acevedo
Directora Planificación y Desarrollo

Dr. Adrián Puello Guerrero
Director de Investigación y Gestión del Conocimiento

® Instituto Nacional del Cáncer Rosa Emilia Sánchez Pérez de Tavares (INCART)

Av. Dr. Bernardo Correa y Cidrón esq. Calle Lic. Rafael Augusto Sánchez Ravelo
Santo Domingo, RD 10103
Teléfono: 809-289-2700 ext. 1076
Dirección de Investigación y Gestión del Conocimiento (DIGC)

Título original:

Indicadores Estadísticos y Epidemiológicos 2017-2021

Coordinación técnica:

Dr. Adrián Puello Guerrero
Dr. Víctor Polanco Vargas
Ing. Tsuyoshi Nishiyama

Instituto Nacional del Cáncer Rosa Emilia Sánchez Pérez de Tavares
Santo Domingo, República Dominicana, 2023

Diagramación:

Alexandra Deschamps

Impresión:

Editora Búho S.R.L.

Equipo responsable

Dirección de Investigación y Gestión del Conocimiento

Dr. Adrián Puello Guerrero
Dr. Víctor Polanco Vargas
Dra. Natalia Santana
Dra. Leslie Deschamps
Lic. Carmen Betances
Ing. Tsuyoshi Nishiyama
Lic. Henry Brito
Sra. Roselínés Marte
Sr. Otto Feliz

Ficha Técnica

Nombre de la publicación	Indicadores Estadísticos y Epidemiológicos 2017-2021
Objetivo general de producto	Proporcionar información disponible sobre los diagnósticos o tratamientos relacionados al cáncer, que sean fiables y oportunos, con el propósito de proveer información epidemiológica que pueda ser utilizada para la prevención, investigación y control del cáncer.
Descripción del producto	Informe general sobre los diferentes cánceres diagnosticados o tratados en el INCART para los años 2017-2021, con informaciones básicas sobre el tumor, pacientes y los diferentes tratamiento llevados a cabo; además, se proveen informaciones relevante sobre la producción hospitalaria e informaciones de ciertos programas el Centro de Oncología Pediátrico y el Programa de Farmacovigilancia.
Año de inicio del producto	2022
Recolección de información	La información es proveniente de los expediente clínicos de cada uno de los pacientes que son diagnosticados o tratados en el INCART.
Año de la publicación	2023
Medios utilizados para la difusión de la información	Publicación impresa; digital, disponible en la página web del Instituto Nacional del Cáncer, incart.gob.do
Datos del Contacto	Dr. José Ramírez Director General Tel. 809 289 2700 Ext. 2003 Dr. Adrián Puello Guerrero Director de Investigación y Gestión del Conocimiento Tel. 809 289 2700 Ext. 1076 Dr. Victor Polanco Vargas Coordinador de Estadística e Investigación Tel. 809 289 2700 Ext. 6004 Lic. Carmen Betances Encargada Registro de Cáncer Tel. 809 289 2700 Ext. 3019
Unidad encargada	Dirección de Investigación y Gestión del Conocimiento Registro de Cáncer Hospitalario

Contenido

Ficha Técnica	9
Presentación	17
Generalidades	19
Indicadores Geopolíticos	19
Incidencia, supervivencia y mortalidad por cáncer en la República Dominicana	20
Cuadro 1. Registros hospitalarios de casos nuevos de cáncer diagnosticados y tratados en 2 centros de referencia de oncología, 2015-2017, República Dominicana.....	21
Gráfico 1. Supervivencia de los pacientes diagnosticados con algún tipo de cáncer según sexo, INCART, 2015-2019.....	22
Gráfico 2. Supervivencia de los pacientes diagnosticados con cáncer de mama y próstata, INCART, 2019-2021.....	23
Gráfico 3. Tasa cruda de incidencia y mortalidad para todos los cánceres, ambos sexos, 0 - 85+, INCART.....	24
Gráfico 4. Tasa estandarizada por edad de incidencia y mortalidad para todos los cánceres, ambos sexos, 0 - 85+, INCART.....	24
Indicadores INCART	25
Indicadores del Registro de Cáncer	25
Gráfico 5. Distribución de casos por sexo según grupo etario, INCART, 2019.....	25
Gráfico 6. Distribución de casos por sexo según grupo etario, INCART, 2020.....	25
Gráfico 7. Distribución de casos por sexo según grupo etario, INCART, 2021.....	26

Gráfico 8. Distribución de casos por sexo según grupo etario, INCART, 2019-2021	26
Cuadro 2. Distribución de casos por provincia de residencia según sexo, INCART, 2019-2021	27
Cuadro 3. Distribución de casos por localización según sexo, INCART, 2019	29
Cuadro 4. Distribución de casos por localización según sexo, INCART, 2020	30
Cuadro 5. Distribución de casos por localización según sexo, INCART, 2021	31
Cuadro 6. Distribución de casos por provincia de residencia según sexo y estadio clínico, INCART, 2019	32
Cuadro 7. Distribución de casos por provincia de residencia según sexo y estadio clínico, INCART, 2020	33
Cuadro 8. Distribución de casos por provincia de residencia según sexo y estadio clínico, INCART, 2021	34
Mapa 1. Distribución de casos por provincia de residencia, INCART, 2019	35
Mapa 2. Distribución de casos por provincia de residencia, INCART, 2020	35
Mapa 3. Distribución de casos por provincia de residencia, INCART, 2021	36
Cuadro 9. Distribución de casos de cáncer por año según tipo de caso, INCART, 2019-2021	36
Gráfico 9. Distribución de casos de cáncer por año según tipo de caso, INCART, 2019-2021	37
Cuadro 10. Distribución de los casos de cáncer según su localización en pacientes de ambos sexos, INCART, 2019	37
Cuadro 11. Distribución de los casos de cáncer según su localización en pacientes de ambos sexos, INCART, 2020	38
Cuadro 12. Distribución de los casos de cáncer según su localización en pacientes de ambos sexos, INCART, 2021	38
Cuadro 13. Distribución de los casos de cáncer según su localización en los pacientes masculinos, INCART, 2019	39
Cuadro 14. Distribución de los casos de cáncer según su localización en las pacientes femenino, INCART, 2019	39
Cuadro 15. Distribución de los casos de cáncer según su localización en los pacientes masculinos, INCART, 2020	40

Cuadro 16. Distribución de los casos de cáncer según su localización en las pacientes femenino, INCART, 2020	40
Cuadro 17. Distribución de los casos de cáncer según su localización en los pacientes masculinos, INCART, 2021	41
Cuadro 18. Distribución de los casos de cáncer según su localización en las pacientes femenino, INCART, 2021	41
Gráfico 10. Distribución de los casos de cáncer según su localización en pacientes de ambos sexos, INCART, 2019-2021	42
Gráfico 11. Distribución de los casos de cáncer según su localización en pacientes masculinos, INCART, 2019-2021	42
Gráfico 12. Distribución de los casos de cáncer según su localización en pacientes femeninas, INCART, 2019-2021.....	43
Cuadro 19. Distribución de los casos de cáncer según morfología en pacientes de ambos sexos, INCART, 2019.....	44
Cuadro 20. Distribución de los casos de cáncer según morfología en pacientes de ambos sexos, INCART, 2020.....	45
Cuadro 21. Distribución de los casos de cáncer según morfología en los pacientes de ambos sexos, INCART, 2021	46
Cuadro 22. Distribución de los casos de defunciones por cáncer según su localización, INCART, 2019	46
Cuadro 23. Distribución de los casos de defunciones por cáncer según su localización, INCART, 2020	47
Cuadro 24. Distribución de los casos de defunciones por cáncer según su localización, INCART, 2021	47
Cuadro 25. Defunciones y tasas de mortalidad por cáncer según su localización, INCART, 2019	48
Cuadro 26. Defunciones y tasas de mortalidad por cáncer según su localización, INCART, 2020	48
Cuadro 27. Defunciones y tasas de mortalidad por cáncer según su localización, INCART, 2021	49
Cuadro 28. Distribución de casos por provincia de residencia según sexo, INCART, 2017-2021.....	50
Cuadro 29. Distribución de casos por provincia de residencia según estadio clínico, INCART, 2017-2021	52
Cuadro 30. Distribución de casos por localización más frecuente según año, INCART, 2017-2021.	54
Gráfico 13. Distribución de casos por localización más frecuente según año, hombres, INCART, 2017-2021.	55

Gráfico 14. Distribución de casos por localización más frecuente según año, mujeres, INCART, 2017-2021.....	55
Cuadro 31. Distribución de casos por grupo de edad según año, ambos sexo, INCART, 2017-2021.....	56
Gráfico 15. Distribución de casos por grupo de edad según año, ambos sexo, INCART, 2017-2021.....	56
Indicadores del Centro de Oncología Pediátrica.....	57
Cuadro 32. Distribución de casos por diagnóstico según sexo atendidos en el Centro de Oncología Pediátrica (COP), ambos sexo, INCART, 2019.....	58
Cuadro 33. Distribución de casos por diagnóstico según sexo atendidos en el Centro de Oncología Pediátrica (COP), ambos sexo, INCART, 2020	59
Cuadro 34. Distribución de casos por diagnóstico según sexo atendidos en el Centro de Oncología Pediátrica (COP), ambos sexo, INCART, 2021.....	60
Cuadro 35. Distribución de casos diagnosticados con tumores sólidos en el Centro de Oncología Pediátrica (COP) por grupo de edad en años y sexo, INCART, 2016-2021.....	60
Cuadro 36. Distribución de servicios ofrecidos por el Centro de Oncología Pediátrica (COP) por año y trimestre, INCART, 2019-2021.....	61
Indicadores clínicos Hospital de Día.....	62
Cuadro 37. Distribución de aplicaciones de quimioterapia por grupo de edad y sexo, INCART, 2019-2021.....	62
Cuadro 38. Aplicaciones trimestrales de quimioterapia según servicio, INCART, 2019-2021	62
Indicadores del Programa Farmacovigilancia.....	63
Gráfico 16. Distribución de notificaciones de reacciones adversas a medicamentos por año de notificación, INCART, 2017-2023.....	63
Cuadro 40. Cantidad de notificaciones de reacciones adversas a medicamentos recibidas por el programa de farmacovigilancia según la gravedad de la notificación, INCART, 2018-2019.....	64
Cuadro 41. Cantidad de notificaciones de reacciones adversas a medicamentos recibidas por el programa de farmacovigilancia según medicamento sospechoso, INCART, 2018–2019.....	64

Cuadro 42. Cantidad de notificaciones de reacciones adversas a medicamentos recibidas por el programa de farmacovigilancia según el tipo de reacción adversa al medicamento, INCART, 2018–2019	65
Indicadores Clínicos del Centro Rehabilitación Oncológica (CRO)	66
Cuadro 43. Cantidad de consultas ofrecida por el Centro de Rehabilitación Oncológica (CRO) según diagnóstico y sexo, INCART, 2019-2021	66
Cuadro 44. Cantidad de consultas ofrecida por el Centro de Rehabilitación Oncológica (CRO) según grupo de edad y nacionalidad, INCART, 2019-2021	67
Cuadro 45. Cantidad de terapias ofrecida por el Centro de Rehabilitación Oncológica (CRO) según trimestre y año, INCART, 2019-2021	67
Centro de Radiooncología	68
Cuadro 46. Cantidad de servicios brindados por el Centro de Radiooncología por año, INCART, 2019-2021	68
Cuadro 47. Cantidad de terapias brindados por el Centro de Radiooncología según tipo de tratamiento, INCART, 2019-2021	68
Programa de Detección Oportuna del Cáncer (PDOC)	69
Cuadro 48. Cantidad de participantes en el Programa de Detección Oportuna de Cáncer (PDOC) por localización y sexo, INCART, 2020-2022.....	69
Cuadro 49. Cantidad de participantes en el Programa de Detección Oportuna de Cáncer (PDOC) por grupo de edad en años, INCART, 2020-2022	69
Cuadro 50. Cantidad de participantes en el Programa de Detección Oportuna de Cáncer (PDOC) por tipo de aseguramiento, INCART, 2020-2022	69
Indicadores Hospitalarios	70
Cuadro 53. Hospitalización y defunciones intrahospitalaria, INCART, 2019-2021	74
Cuadro 54. Actividades quirúrgicas por servicio, INCART, 2019-2021	74

Cuadro 55. Procedimientos diagnósticos del centro de imágenes, INCART, 2019-2021	75
Referencias	77
Anexos	79
Anexo 1	79
Cuadro 1.1 Distribución de tumores por localización y sexo, INCART, 2019	79
Cuadro 1.2 Distribución de tumores por localización y sexo, INCART, 2020	81
Cuadro 1.3 Distribución de tumores por localización y sexo, INCART, 2021	83
Anexo 2	85
Cuadro 2.1 Distribución de tumores por localización y tipo de caso, INCART, 2019	85
Cuadro 2.2 Distribución de tumores por localización y tipo de caso, INCART, 2020	87
Cuadro 2.3 Distribución de tumores por localización y tipo de caso, INCART, 2021	89
Anexo 3	91
Cuadro 3.2 Distribución de tumores por localización y estadio clínico, INCART, 2020.....	93
Cuadro 3.3 Distribución de tumores por localización y estadio clínico, INCART, 2021.....	95
Anexo 4	97
Cuadro 4.1. Tasas de incidencia y mortalidad por cáncer, ambos sexos, todos los cánceres, 0-85+, INCART.....	97
Anexo 5	98
Anexo 6	99
Recursos Complementarios.....	99

Presentación

El Instituto Nacional del Cáncer Rosa Emilia Sánchez Pérez de Tavares (INCART), con su compromiso constante de liderar la lucha contra el cáncer en la República Dominicana, se enorgullece de poner a disposición de los usuarios y del público en general una valiosa y extensa publicación que recoge los Indicadores Estadísticos y Epidemiológicos correspondientes a los años 2017, 2018, 2019, 2020 y 2021.

La importancia de esta publicación trasciende los límites institucionales, por primera vez estamos publicando un quinquenio de datos, es decir, más de 5 años de datos consolidados y con alta calidad con el objetivo primordial de proporcionar información veraz, confiable y oportuna relacionada con los diagnósticos y tratamientos del cáncer. Mediante un detallado registro de cáncer hospitalario gestionado por la Dirección de Investigación y Gestión del Conocimiento, en el INCART buscamos ofrecer a la sociedad dominicana un compendio completo y riguroso que abarca una amplia gama de aspectos relativos a esta condición crónica de salud, cáncer.

Dentro de sus páginas, esta exhaustiva publicación describe de manera minuciosa los diferentes tipos de cáncer diagnosticados o tratados en las instalaciones del INCART a lo largo de los años mencionados. No solo se limita a enumerar estadísticas frías, sino que contextualiza estos datos con generalidades relevantes sobre la enfermedad, su impacto en la población y las tendencias observadas. Los perfiles de los pacientes también se incluyen en este esfuerzo informativo, brindando una visión más completa de los factores sociodemográficos y de salud que pueden influir en la aparición y el manejo del cáncer.

Además de ofrecer información detallada sobre los diagnósticos y tratamientos, esta publicación se extiende hacia otras áreas fundamentales del INCART. Se presentan datos esenciales sobre la producción

hospitalaria, resaltando la dedicación y el esfuerzo del personal médico y administrativo en la atención de pacientes con cáncer. Asimismo, se destaca que desde el 2020 la capacidad productiva, los servicios y procedimientos realizados en el INCART han aumentado considerablemente, a saber en el 2020 el trabajo y los logros del Centro de Oncología Pediátrica y del Centro de Radio-Oncología, subrayando la importancia de un enfoque integral y especializado en la lucha contra el cáncer en todas las etapas de la vida.

En un esfuerzo por promover la seguridad y la eficacia en el tratamiento, la publicación también aborda aspectos fundamentales del Programa de Farmacovigilancia del INCART, enfatizando la importancia de la vigilancia y seguimiento de los medicamentos utilizados en la terapéutica del cáncer. Asimismo incluimos información relevante sobre la rehabilitación post-cáncer, su cuidado e importancia para la reinserción social.

Detrás de cada dato, estadística y análisis presentado en esta publicación, se encuentra el valioso trabajo conjunto de los servidores y servidoras del INCART, quienes, con su dedicación y experiencia, han contribuido a que estos indicadores sean una herramienta invaluable para la prevención, investigación y control del cáncer en la República Dominicana. En última instancia, el INCART confía en que esta publicación se convierta en un referente indiscutible para la comunidad médica, investigadores, académicos y todos los actores involucrados en la lucha contra el cáncer. Además, se espera que sea una fuente de conocimiento accesible y útil para el público en general, contribuyendo así a una mayor conciencia sobre esta enfermedad y sus implicaciones en la salud pública.

Con este esfuerzo, el INCART reafirma su compromiso de seguir avanzando en la generación de información confiable y de calidad, y se enorgullece de ofrecer a la sociedad dominicana una herramienta de valor incalculable en la lucha contra el cáncer, uniendo esfuerzos en la búsqueda de una mejor calidad de vida y una esperanza renovada para todos aquellos afectados por esta enfermedad.

Dr. José Ernesto Ramírez
Director General

Generalidades

Indicadores Geopolíticos

La República Dominicana se ubica como uno de los trece países que conforman las Antillas y uno de los treinta y cinco que integran el continente americano. Su ubicación en el centro de las Antillas la coloca en un lugar estratégico, limitando al norte con el océano Atlántico, al este con el Canal de la Mona, al sur con el mar Caribe y al oeste con Haití (WFCIA, 2016).

El territorio de la República Dominicana abarca una extensión de 48,670.8 km², posicionándose como el segundo país más extenso de las Antillas, solo superado por Cuba. Para el año 2022, se estima que la población alcanzaba los 10,760,028 habitantes y una tasa de crecimiento poblacional sostenida de 1.10% entre el 2010 y el 2022 anual. En términos económicos, la República Dominicana ha sido catalogada como una nación de ingresos mediano-altos, destacándose en los sectores del turismo, minería y telecomunicaciones (ONE, 2022).

A nivel administrativo, el país se divide en 31 provincias y un distrito nacional, que, a su vez, se subdividen en un total de 158 municipios y 234 distritos municipales (ONE, 2019). En el ámbito de la salud, la República Dominicana se organiza en 9 macro regiones de salud, abarcando desde la región O hasta la región VIII (ver figura 1). La geografía y organización de la República Dominicana la convierten en un país estratégico en las Antillas y el continente americano, y su crecimiento sostenido y diversidad económica contribuyen a su desarrollo y progreso como nación. Además, la distribución administrativa y de salud permite una gestión más eficiente en la prestación de servicios y el acceso a la atención médica en todo el territorio.

Figura 1. División territorial de la República Dominicana



Incidencia, supervivencia y mortalidad por cáncer en la República Dominicana

Según las estimaciones proporcionadas por el Observatorio Global del Cáncer (GLOBOCAN) para el año 2020, en la República Dominicana se reportaron 19,816 casos nuevos de cáncer y lamentablemente, se registraron 12,107 defunciones relacionadas con esta enfermedad. El informe destaca que los cinco tipos de cáncer más comunes en ambos sexos fueron el cáncer de próstata, mama, pulmón, colon y cervicouterino, siendo el cáncer de mama el más frecuente en las mujeres y el cáncer de próstata en los hombres.

Estos datos son el resultado de los esfuerzos dedicados del Ministerio de Salud Pública y Asistencia Social de la República Dominicana, quienes han trabajado arduamente para recopilar información precisa y específica sobre la incidencia del cáncer en la población del país, contribuyendo así a obtener una visión más clara y completa del panorama del cáncer a nivel nacional. Durante el periodo comprendido entre 2015 y 2017, se observó que el sexo femenino presentó el mayor

número de casos nuevos de cáncer reportados anualmente. En el caso de las mujeres, el cáncer de mama fue el tipo de tumor maligno más frecuente, mientras que en los hombres, el cáncer de próstata lideró las estadísticas (ver Cuadro 1).

Estos datos resultan fundamentales para comprender la magnitud del problema del cáncer en la República Dominicana y para orientar las estrategias de prevención, detección temprana y tratamiento de esta enfermedad en la población. El conocimiento de estos factores epidemiológicos es esencial para la planificación y ejecución de políticas de salud dirigidas a combatir y reducir la carga del cáncer en el país.

Cuadro 1. Registros hospitalarios de casos nuevos de cáncer diagnosticados y tratados en 2 centros de referencia de oncología, 2015-2017, República Dominicana

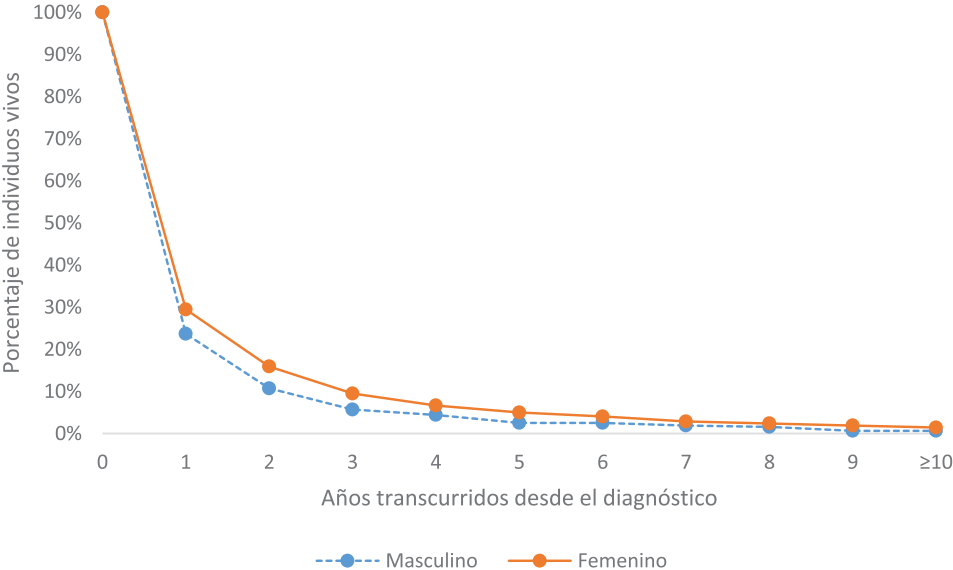
Indicadores	Año					
	2015		2016		2017	
	Casos	%	Casos	%	Casos	%
Casos nuevos registrados de cáncer	4 397	100	4 895	100	3 135	100
Casos nuevos registrados de cáncer - masculino	1 746	40	2 136	44	1 227	39
Casos nuevos registrados de cáncer - femenino	2 651	60	2 759	56	1 908	61
Casos nuevos registrados de cáncer de mama de la mujer	1 003	23	1 035	21	1 081	34
Casos nuevos registrados de cáncer de próstata	579	13	737	15	570	18
Casos nuevos registrados de cáncer de aparato digestivo	519	12	391	8	385	12
Casos nuevos registrados de cáncer de cuello de útero	356	8	498	10	351	11
Casos nuevos registrados de cáncer de labio, cavidad oral y faringe	225	5	182	4	156	5
Casos nuevos registrados de cáncer de piel	191	4	211	4	185	6
Casos nuevos registrados de cáncer de bronquios y pulmón	181	4	192	4	171	5
Casos nuevos registrados de cáncer de colon	177	4	106	2	181	6

Fuente: Ministerio de Salud Pública (MSP). Indicadores Básicos de Salud. 2021

Con respecto a la supervivencia de los pacientes diagnosticados con cáncer, se realizó un análisis con los datos captados por el registro de cáncer hospitalario del Instituto Nacional del Cáncer (INCART) para el periodo comprendido entre 2019-2021. De este periodo se extrajeron un total de 738 registros, tomando en cuenta la fecha de diagnóstico como punto de partida para el análisis y la fecha de muerte, cuantificando la cantidad de años transcurridos desde la fecha de diagnóstico hasta la fecha de muerte. De este total de registros, 317 (43%) correspondían al sexo masculino y 421(57%) al sexo femenino.

En base a los datos captados por el registro de cáncer del INCART, se observa una diferencia de 7% entre el total de mujeres vivas y hombres vivos posterior a un año de su diagnóstico. Se puede observar (Gráfico 1) un comportamiento similar en ambos sexos, en el porcentaje de individuos vivos según los años transcurridos después del diagnóstico. Del total de individuos con cáncer fallecidos en el periodo 2019-2021, solo el 24% aproximadamente de éstos seguían vivos al primer año luego del diagnóstico.

Gráfico 1. Supervivencia de los pacientes diagnosticados con algún tipo de cáncer según sexo, INCART, 2015-2019



Al observar el comportamiento del tiempo de supervivencia según tipo de cáncer más frecuente, tanto para el sexo masculino como para el sexo femenino (cáncer de próstata y mama, respectivamente), podemos identificar que alrededor del 61 % de los individuos que padecieron de cáncer de mama y el 67% de los individuos que padecieron de cáncer de próstata, seguían vivos al primer año luego del diagnóstico.

De esta misma manera, si analizamos el comportamiento del tiempo de supervivencia según el tipo de cáncer más frecuente para el sexo masculino y femenino (cáncer de próstata y cáncer de mama, respectivamente), podemos observar que el 50% aproximadamente de los individuos fallecidos en el periodo 2019-2021, seguían vivos al primer año luego del diagnóstico (Gráfico 2).

Gráfico 2. Supervivencia de los pacientes diagnosticados con cáncer de mama y próstata, INCART, 2019-2021

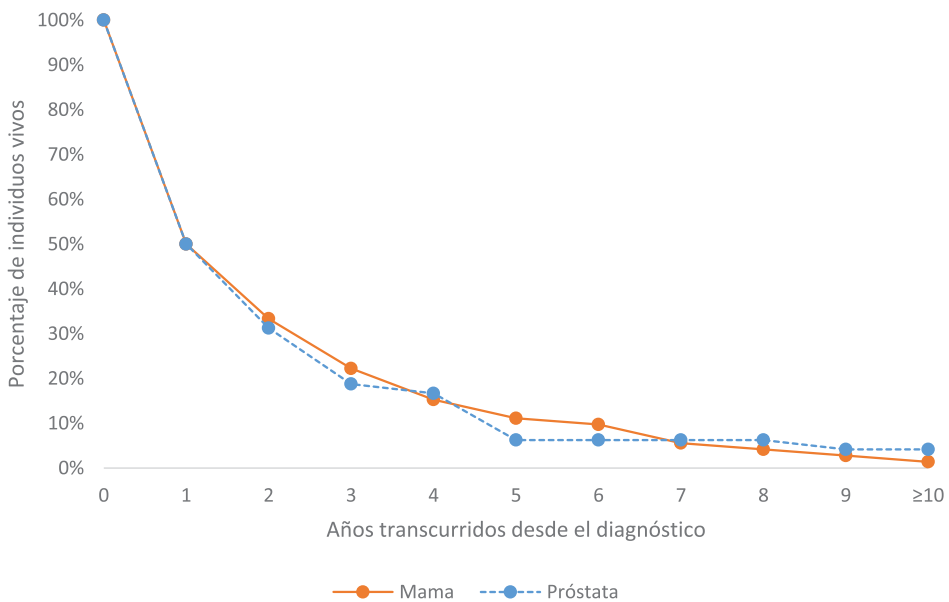


Gráfico 3. Tasa cruda de incidencia y mortalidad para todos los cánceres, ambos sexos, 0 - 85+, INCART

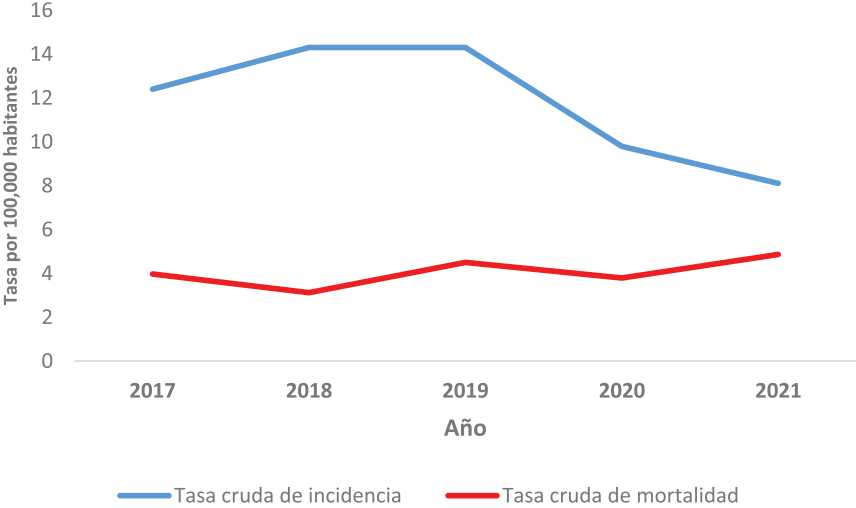
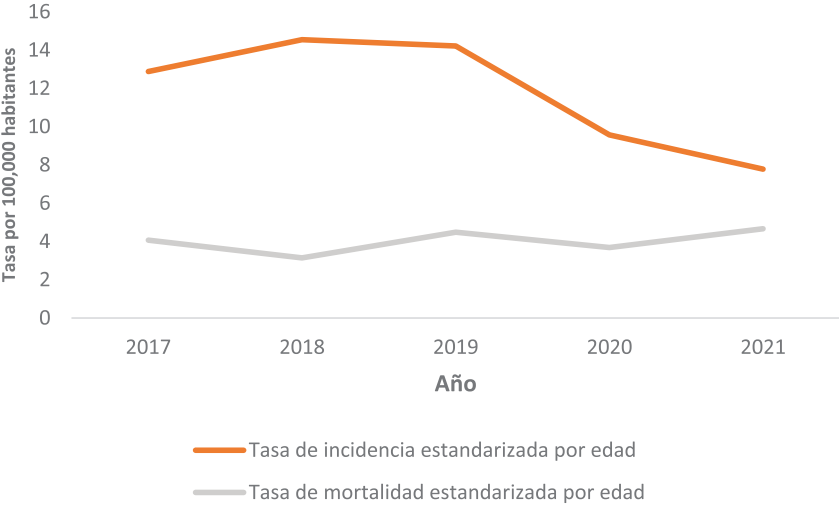


Gráfico 4. Tasa estandarizada por edad de incidencia y mortalidad para todos los cánceres, ambos sexos, 0 - 85+, INCART



Indicadores INCART

Indicadores del Registro de Cáncer

Gráfico 5. Distribución de casos por sexo según grupo etario, INCART, 2019

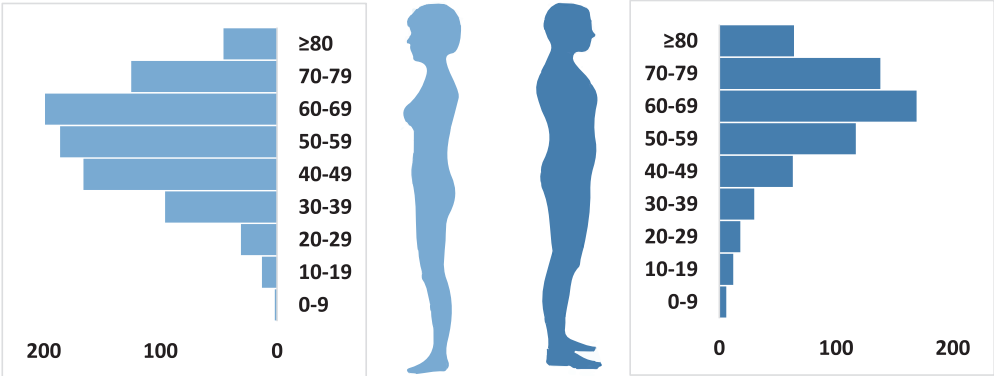


Gráfico 6. Distribución de casos por sexo según grupo etario, INCART, 2020

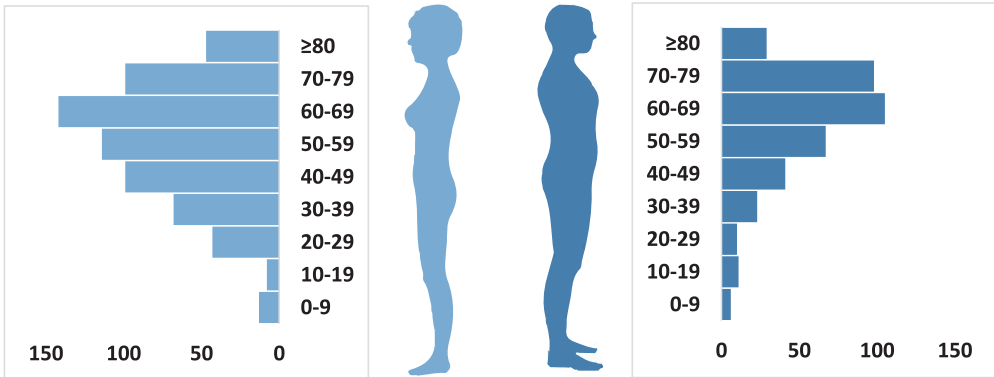


Gráfico 7. Distribución de casos por sexo según grupo etario, INCART, 2021

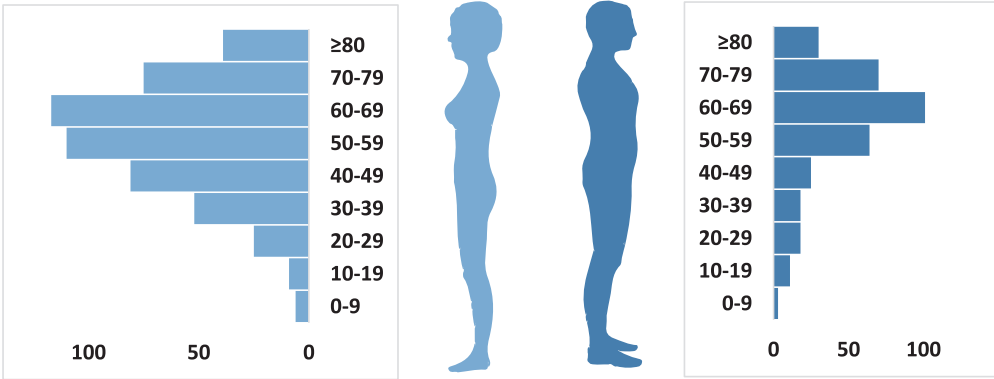
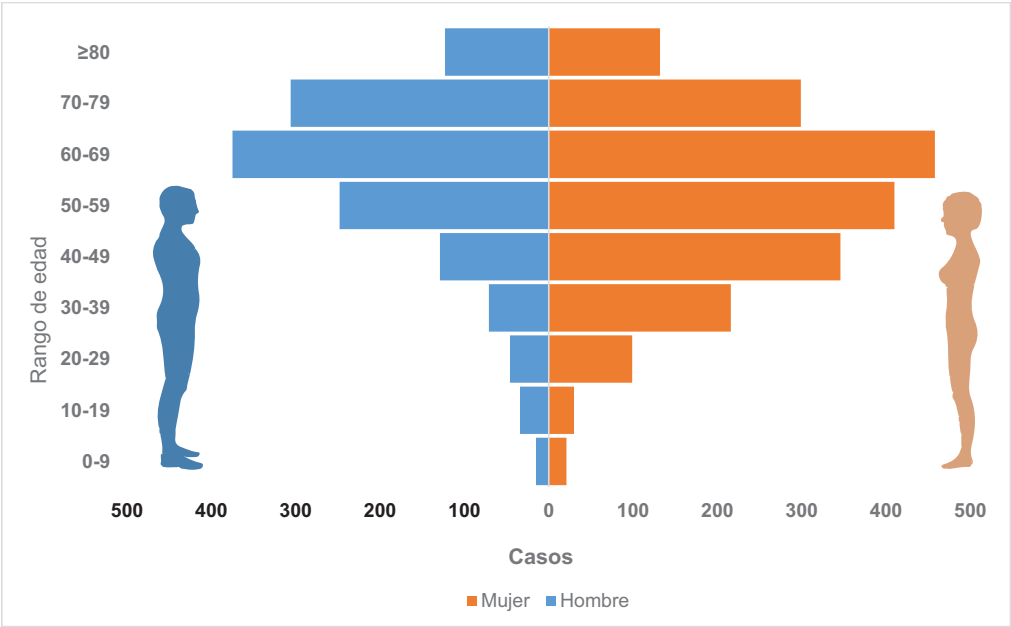


Gráfico 8. Distribución de casos por sexo según grupo etario, INCART, 2019-2021



Cuadro 2. Distribución de casos por provincia de residencia según sexo, INCART, 2019-2021

Región	Provincia	INCART											
		2019				2020				2021			
		Hombre	Mujer	Total	%	Hombre	Mujer	Total	%	Hombre	Mujer	Total	%
Región 0	Distrito Nacional	81	134	215	15.25	83	128	211	21.84	128	162	290	35.50
Región 0	Monte Plata	21	20	41	2.91	9	22	31	3.21	7	14	21	2.57
Región 0	Santo Domingo	103	146	249	17.66	73	141	214	22.15	53	87	140	17.14
Región I	Peravia	20	14	34	2.41	9	14	23	2.38	4	4	8	0.98
Región I	San Cristóbal	54	41	95	6.74	23	37	60	6.21	20	30	50	6.12
Región I	San José de Ocoa	15	16	31	2.20	7	6	13	1.35	2	6	8	0.98
Región II	Españillat	14	15	29	2.06	6	7	13	1.35	2	6	8	0.98
Región II	Puerto Plata	17	17	34	2.41	7	13	20	2.07	3	7	10	1.22
Región II	Santiago	9	17	26	1.84	8	5	13	1.35	7	7	14	1.71
Región III	Duarte	25	32	57	4.04	9	17	26	2.69	10	10	20	2.45
Región III	Hermanas Mirabal	5	16	21	1.49	10	9	19	1.97	2	1	3	0.37
Región III	María Trinidad Sánchez	12	22	34	2.41	3	12	15	1.55	3	11	14	1.71
Región III	Samaná	11	11	22	1.56	2	4	6	0.62	3	4	7	0.86
Región IV	Bahoruco	11	16	27	1.91	1	5	6	0.62	2	6	8	0.98
Región IV	Barahona	26	22	48	3.40	9	18	27	2.80	12	10	22	2.69
Región IV	Independencia	3	5	8	0.57	1	1	2	0.21	3	1	4	0.49
Región IV	Pedernales	2	3	5	0.35	1	1	2	0.21	0	2	2	0.24
Región V	El Seibo	11	11	22	1.56	4	12	16	1.66	4	7	11	1.35
Región V	Hato Mayor	15	20	35	2.48	4	9	13	1.35	2	7	9	1.10
Región V	La Altagracia	12	17	29	2.06	5	12	17	1.76	7	8	15	1.84
Región V	La Romana	1	6	7	0.50	1	6	7	0.72	3	3	6	0.73

Región	Provincia	INCART											
		2019				2020				2021			
		Hombre	Mujer	Total	%	Hombre	Mujer	Total	%	Hombre	Mujer	Total	%
Región V	San Pedro de Macorís	16	25	41	2.91	5	13	18	1.86	8	10	18	2.20
Región VI	Azua	19	24	43	3.05	7	18	25	2.59	6	18	24	2.94
Región VI	Elías Piña	8	11	19	1.35	4	11	15	1.55	4	7	11	1.35
Región VI	San Juan	39	57	96	6.81	32	36	68	7.04	15	25	40	4.90
Región VII	Dajabón	4	10	14	0.99	6	1	7	0.72	2	4	6	0.73
Región VII	Monte Cristi	3	5	8	0.57	6	1	7	0.72	3	2	5	0.61
Región VII	Santiago Rodríguez	6	8	14	0.99	3	0	3	0.31	0	2	2	0.24
Región VII	Valverde	3	5	8	0.57	1	1	2	0.21	1	3	4	0.49
Región VIII	La Vega	11	31	42	2.98	17	12	29	3.00	3	8	11	1.35
Región VIII	Monseñor Nouel	8	16	24	1.70	3	9	12	1.24	3	7	10	1.22
Región VIII	Sánchez Ramírez	10	22	32	2.27	12	14	26	2.69	5	11	16	1.96
Total		595	815	1 410	100	371	595	966	100	327	490	817	100

Cuadro 3. Distribución de casos por localización según sexo, INCART, 2019

Hombre		Mujer	
Localización	Casos	Localización	Casos
Glándula prostática	203	Mama	292
Sistemas hematopoyético y reticuloendotelial	70	Cuello uterino	108
Colon	50	Sistemas hematopoyético y reticuloendotelial	71
Bronquios y pulmón	43	Colon	54
Ganglios linfáticos	31	Bronquios y pulmón	47
Hígado y conductos biliares intrahepáticos	25	Cuerpo uterino	30
Estómago	22	Ovario	27
Recto	21	Ganglios linfáticos	25
Amígdala	20	Piel	25
Piel	15	Recto	22
Laringe	14	Glándula tiroides	16
Tejido conjuntivo, subcutáneo y de otros tejidos blandos	12	Hígado y conductos biliares intrahepáticos	16
Encéfalo	9	Estómago	15
Esófago	6	Páncreas	7
Páncreas	6	Unión rectosigmoidea	7
Otras localizaciones	80	Otras localizaciones	91

Cuadro 4. Distribución de casos por localización según sexo, INCART, 2020

Hombre		Mujer	
Localización	Casos	Localización	Casos
Glándula prostática	99	Mama	181
Sistemas hematopoyético y reticuloendotelial	53	Cuello uterino	96
Bronquios y pulmón	29	Sistemas hematopoyético y reticuloendotelial	52
Colon	28	Colon	43
Ganglios linfáticos	22	Bronquios y pulmón	34
Estómago	21	Cuerpo uterino	29
Recto	17	Ganglios linfáticos	19
Piel	11	Estómago	18
Hígado y conductos biliares intrahepáticos	10	Ovario	17
Laringe	9	Hígado y conductos biliares intrahepáticos	14
Tejido conjuntivo, subcutáneo y de otros tejidos blandos	9	Glándula tiroides	13
Esófago	8	Piel	13
Mama	6	Recto	11
Sitio primario desconocido	6	Encéfalo	8
Vejiga urinaria	6	Tejido conjuntivo, subcutáneo y de otros tejidos blandos	8
Otras localizaciones	59	Otras localizaciones	76

Cuadro 5. Distribución de casos por localización según sexo, INCART, 2021

Hombre		Mujer	
Localización	Casos	Localización	Casos
Glándula prostática	79	Mama	147
Sistemas hematopoyético y reticuloendotelial	56	Sistemas hematopoyético y reticuloendotelial	64
Bronquios y pulmón	29	Cuello uterino	58
Colon	23	Colon	30
Ganglios linfáticos	22	Bronquios y pulmón	28
Estómago	15	Cuerpo uterino	20
Hígado y conductos biliares intrahepáticos	12	Recto	20
Esófago	11	Ganglios linfáticos	18
Páncreas	9	Estómago	12
Recto	9	Ovario	12
Vejiga urinaria	8	Hígado y conductos biliares intrahepáticos	11
Piel	6	Páncreas	11
Tejido conjuntivo, subcutáneo y de otros tejidos blandos	6	Encéfalo	10
Encéfalo	5	Glándula tiroides	7
Laringe	5	Piel	6
Otras localizaciones	48	Otras localizaciones	57

Cuadro 6. Distribución de casos por provincia de residencia según sexo y estadio clínico, INCART, 2019

Provincia	Sexo		Total	%	Estadio clínico [†]				
	Hombre	Mujer			I	II	III	IV	9*
Azua	19	24	43	2.90	0	3	5	0	35
Bahoruco	11	16	27	1.82	0	0	2	0	25
Barahona	26	22	48	3.24	0	2	1	2	43
Dajabón	4	10	14	0.95	0	1	0	0	13
Distrito Nacional	81	134	215	14.52	2	5	6	5	197
Duarte	25	32	57	3.85	0	0	2	1	54
El Seibo	11	11	22	1.49	0	2	0	2	18
Elías Piña	8	11	19	1.28	0	0	0	0	19
Españat	14	15	29	1.96	0	3	1	0	25
Hato Mayor	15	20	35	2.36	0	1	4	1	29
Hermanas Mirabal	5	16	21	1.42	1	0	0	4	16
Independencia	3	5	8	0.54	0	0	0	0	8
La Altagracia	12	17	29	1.96	0	0	0	2	27
La Romana	1	6	7	0.47	1	0	0	0	6
La Vega	11	31	42	2.84	0	1	1	1	39
María Trinidad Sánchez	12	22	34	2.30	0	0	3	1	30
Monseñor Nouel	8	16	24	1.62	0	0	0	1	23
Monte Cristi	3	5	8	0.54	0	0	0	0	8
Monte Plata	21	20	41	2.77	0	2	4	1	34
Pedernales	2	3	5	0.34	0	0	0	0	5
Peravia	20	14	34	2.30	1	0	1	1	31
Puerto Plata	17	17	34	2.30	0	2	2	1	29
Samaná	11	11	22	1.49	0	1	1	0	20
San Cristóbal	54	41	95	6.41	0	1	0	1	93
San José de Ocoa	15	16	31	2.09	0	0	3	0	28
San Juan	39	57	96	6.48	0	1	2	2	91
San Pedro de Macorís	16	25	41	2.77	0	3	2	2	34
Sánchez Ramírez	10	22	32	2.16	0	2	0	3	27
Santiago	9	17	26	1.76	0	0	3	0	23
Santiago Rodríguez	6	8	14	0.95	0	3	2	0	9
Santo Domingo	103	146	249	16.81	1	10	13	4	221
Valverde	3	5	8	0.54	0	0	0	0	8
Desconocido	3	2	5	0.34	0	0	0	0	5
Extranjero	19	47	66	4.46	1	2	2	2	59
Total	617	864	1 481	100	7	45	60	37	1 332

*Estadio clínico desconocido

† Se refiere a la extensión del cáncer. En cuanto más alto es el número de estadios, mayor es el tamaño del tumor y la extensión del tumor. Para los estadios I, II y III indican presencia local del cáncer, mientras que el estadio IV indica que el cáncer se ha diseminado a partes distintas del cuerpo (metástasis).

Cuadro 7. Distribución de casos por provincia de residencia según sexo y estadio clínico, INCART, 2020

Provincia	Sexo		Total	%	Estadio clínico [†]				
	Hombre	Mujer			I	II	III	IV	9*
Azua	7	18	25	2.44	0	1	1	1	22
Bahoruco	1	5	6	0.59	0	0	0	0	6
Barahona	9	18	27	2.64	0	0	0	0	27
Dajabón	6	1	7	0.68	0	0	0	0	7
Distrito Nacional	83	128	211	20.63	0	1	1	0	209
Duarte	9	17	26	2.54	0	0	1	1	24
El Seibo	4	12	16	1.56	0	0	0	0	16
Elías Piña	4	11	15	1.47	0	0	0	0	15
Espailat	6	7	13	1.27	0	1	0	0	12
Hato Mayor	4	9	13	1.27	0	0	0	0	13
Hermanas Mirabal	10	9	19	1.86	0	0	2	1	16
Independencia	1	1	2	0.20	0	0	0	0	2
La Altagracia	5	12	17	1.66	0	1	0	0	16
La Romana	1	6	7	0.68	0	0	0	0	7
La Vega	17	12	29	2.83	0	3	0	0	26
María Trinidad Sánchez	3	12	15	1.47	0	0	1	0	14
Monseñor Nouel	3	9	12	1.17	0	0	0	0	12
Monte Cristi	6	1	7	0.68	0	0	0	0	7
Monte Plata	9	22	31	3.03	0	0	1	0	30
Pedernales	1	1	2	0.20	0	0	0	0	2
Peravia	9	14	23	2.25	0	0	0	0	23
Puerto Plata	7	13	20	1.96	0	0	0	0	20
Samaná	2	4	6	0.59	0	0	0	0	6
San Cristóbal	23	37	60	5.87	0	2	0	0	58
San José de Ocoa	7	6	13	1.27	0	1	0	0	12
San Juan	32	36	68	6.65	0	2	0	0	66
San Pedro de Macorís	5	13	18	1.76	0	1	0	0	17
Sánchez Ramírez	12	14	26	2.54	1	0	0	0	25
Santiago	8	5	13	1.27	0	0	0	0	13
Santiago Rodríguez	3	0	3	0.29	0	0	0	0	3
Santo Domingo	73	141	214	20.92	0	5	4	1	204
Valverde	1	1	2	0.20	0	0	0	0	2
Desconocido	0	2	2	0	0	0	2	0	0
Extranjero	19	36	55	5.38	0	2	2	0	51
Total	390	633	1 023	100	1	20	15	4	983

*Estadio clínico desconocido

† Se refiere a la extensión del cáncer. En cuanto más alto es el número de estadios, mayor es el tamaño del tumor y la extensión del tumor. Para los estadios I, II y III indican presencia local del cáncer, mientras que el estadio IV indica que el cáncer se ha diseminado a partes distintas del cuerpo (metástasis).

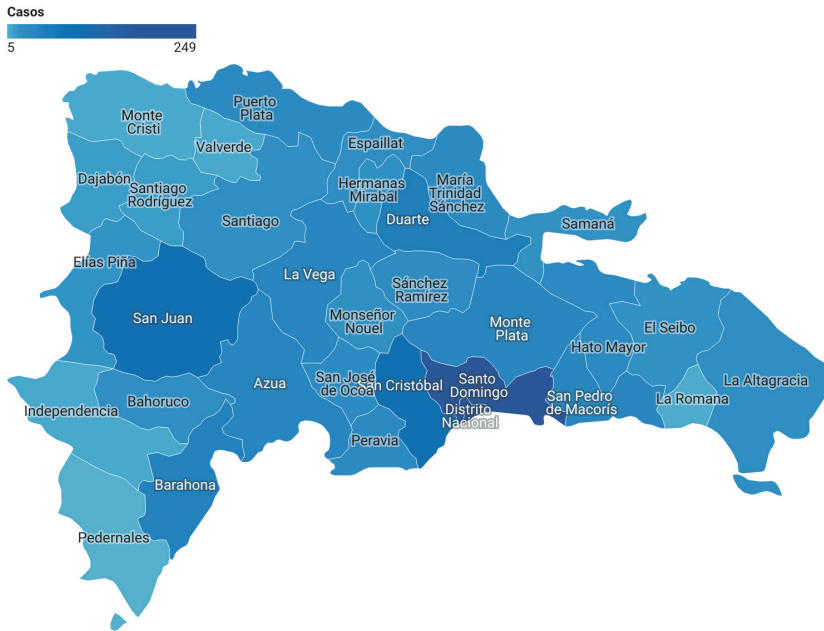
Cuadro 8. Distribución de casos por provincia de residencia según sexo y estadio clínico, INCART, 2021

Provincia	Sexo		Total	%	Estadio clínico [†]				
	Hombre	Mujer			I	II	III	IV	9*
Azua	6	18	24	2.80	0	1	0	0	23
Bahoruco	2	6	8	0.93	0	1	1	0	6
Barahona	12	10	22	2.57	0	0	2	0	20
Dajabón	2	4	6	0.70	0	0	0	0	6
Distrito Nacional	128	162	290	33.88	0	3	0	1	286
Duarte	10	10	20	2.34	0	1	0	0	19
El Seibo	4	7	11	1.29	0	2	0	0	9
Elías Piña	4	7	11	1.29	0	0	0	0	11
Españat	2	6	8	0.93	0	0	1	0	7
Hato Mayor	2	7	9	1.05	0	0	0	0	9
Hermanas Mirabal	2	1	3	0.35	0	0	0	0	3
Independencia	3	1	4	0.47	0	1	0	0	3
La Altagracia	7	8	15	1.75	0	1	0	0	14
La Romana	3	3	6	0.70	0	0	0	0	6
La Vega	3	8	11	1.29	0	0	0	0	11
María Trinidad Sánchez	3	11	14	1.64	0	0	1	0	13
Monseñor Nouel	3	7	10	1.17	0	1	0	0	9
Monte Cristi	3	2	5	0.58	0	0	0	0	5
Monte Plata	7	14	21	2.45	0	1	0	0	20
Pedernales	0	2	2	0.23	0	0	0	0	2
Peravia	4	4	8	0.93	0	0	0	0	8
Puerto Plata	3	7	10	1.17	0	1	0	0	9
Samaná	3	4	7	0.82	0	0	1	1	5
San Cristóbal	20	30	50	5.84	0	0	0	0	50
San José de Ocoa	2	6	8	0.93	0	0	0	0	8
San Juan	15	25	40	4.67	0	1	1	0	38
San Pedro de Macorís	8	10	18	2.10	0	1	0	0	17
Sánchez Ramírez	5	11	16	1.87	0	0	2	1	13
Santiago	7	7	14	1.64	0	0	0	0	14
Santiago Rodríguez	0	2	2	0.23	0	0	0	0	2
Santo Domingo	53	87	140	16.36	0	4	3	0	133
Valverde	1	3	4	0.47	0	0	0	0	4
Extranjero	13	24	37	4.32	0	2	1	1	33
Desconocido	0	2	2	0.23	0	0	0	0	2
Total	340	516	856	100	0	21	13	4	818

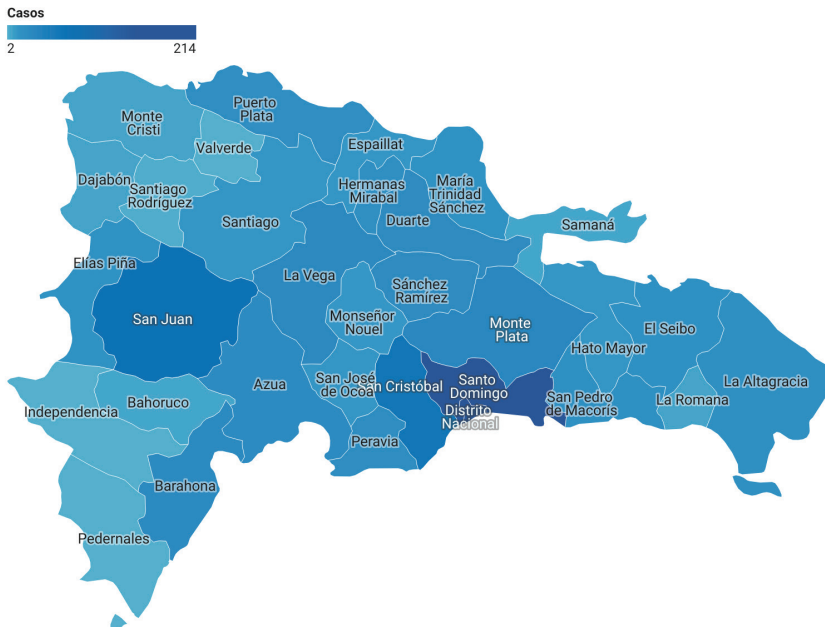
*Estadio clínico desconocido

† Se refiere a la extensión del cáncer. En cuanto más alto es el número de estadiaje, mayor es el tamaño del tumor y la extensión del tumor. Para los estadios I, II y III indican presencia local del cáncer, mientras que el estadio IV indica que el cáncer se ha diseminado a partes distintas del cuerpo (metástasis).

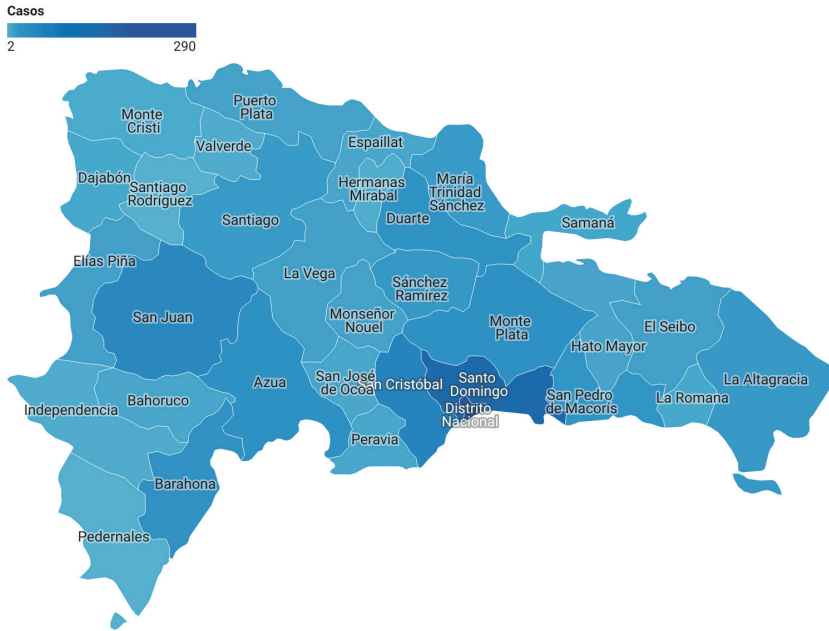
Mapa 1. Distribución de casos por provincia de residencia, INCART, 2019



Mapa 2. Distribución de casos por provincia de residencia, INCART, 2020



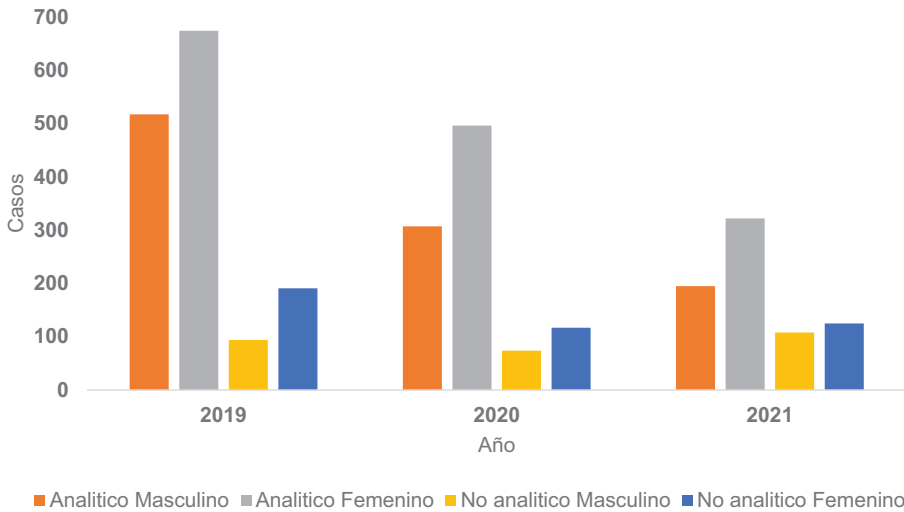
Mapa 3. Distribución de casos por provincia de residencia, INCART, 2021



Cuadro 9. Distribución de casos de cáncer por año según tipo de caso, INCART, 2019-2021

Año	Analítico	No analítico	Total
2015	325	807	1 132
2016	932	452	1 384
2017	949	288	1 237
2018	1 181	252	1 433
2019	1 197	284	1 481
2020	832	191	1 023
2021	622	234	856

Gráfico 9. Distribución de casos de cáncer por año según tipo de caso, INCART, 2019-2021



Cuadro 10. Distribución de los casos de cáncer según su localización en pacientes de ambos sexos, INCART, 2019

Localización	CIE-O	Casos	%
Mama	C50	297	20.05
Glándula prostática	C61	203	13.71
Sistemas hematopoyético y reticuloendotelial	C42	140	9.45
Cuello uterino	C53	109	7.36
Colon	C18	102	6.89
Bronquios y pulmón	C34	89	6.01
Ganglios linfáticos	C77	56	3.78
Recto	C20	43	2.90
Hígado y conductos biliares intrahepáticos	C22	41	2.77
Piel	C44	40	2.70
Estómago	C16	37	2.50
Cuerpo uterino	C54	30	2.03
Ovario	C56	27	1.82
Amígdala	C09	24	1.62
Laringe	C32	20	1.35
Otras localizaciones		223	15.06

Cuadro 11. Distribución de los casos de cáncer según su localización en pacientes de ambos sexos, INCART, 2020

Localización	CIE-O	Casos	%
Mama	C50	187	18.28
Sistemas hematopoyético y reticuloendotelial	C42	105	10.26
Cuello uterino	C53	96	9.38
Glándula prostática	C61	96	9.38
Colon	C18	71	6.94
Bronquios y pulmón	C34	63	6.16
Ganglios linfáticos	C77	41	4.01
Estómago	C16	39	3.81
Cuerpo uterino	C54	29	2.83
Recto	C20	28	2.74
Hígado y conductos biliares intrahepáticos	C22	24	2.35
Piel	C44	24	2.35
Ovario	C56	17	1.66
Tejido conjuntivo, subcutáneo y de otros tejidos blandos	C49	17	1.66
Esófago	C15	15	1.47
Otras localizaciones		171	16.72

Cuadro 12. Distribución de los casos de cáncer según su localización en pacientes de ambos sexos, INCART, 2021

Localización	CIE-O	Casos	%
Mama	C50	149	17.45
Sistemas hematopoyético y reticuloendotelial	C42	120	14.05
Glándula prostática	C61	80	9.37
Cuello uterino	C53	59	6.91
Bronquios y pulmón	C34	57	6.67
Colon	C18	53	6.21
Ganglios linfáticos	C77	40	4.68
Recto	C20	29	3.40
Estómago	C16	26	3.04
Hígado y conductos biliares intrahepáticos	C22	23	2.69
Páncreas	C25	20	2.34
Cuerpo uterino	C54	19	2.22
Esófago	C15	16	1.87
Encéfalo	C71	15	1.76
Ovario	C56	12	1.41
Otras localizaciones		136	15.93

Cuadro 13. Distribución de los casos de cáncer según su localización en los pacientes masculinos, INCART, 2019

Localización	CIE-O	Casos	%
Glándula prostática	C61	203	32.32
Sistemas hematopoyético y reticuloendotelial	C42	70	11.15
Colon	C18	49	7.80
Bronquios y pulmón	C34	43	6.85
Ganglios linfáticos	C77	31	4.94
Hígado y conductos biliares intrahepáticos	C22	25	3.98
Estómago	C16	22	3.50
Recto	C20	21	3.34
Amígdala	C09	20	3.18
Piel	C44	15	2.39
Laringe	C32	14	2.23
Tejido conjuntivo, subcutáneo y de otros tejidos blandos	C49	12	1.91
Encéfalo	C71	9	1.43
Esófago	C15	6	0.96
Unión rectosigmoidea	C19	6	0.96
Otras localizaciones		82	13.06

Cuadro 14. Distribución de los casos de cáncer según su localización en las pacientes femenino, INCART, 2019

Localización	CIE-O	Casos	%
Mama	C50	292	33.64
Cuello uterino	C53	108	12.44
Sistemas hematopoyético y reticuloendotelial	C42	70	8.06
Colon	C18	54	6.22
Bronquios y pulmón	C34	47	5.41
Cuerpo uterino	C54	31	3.57
Ovario	C56	27	3.11
Piel	C44	25	2.88
Ganglios linfáticos	C77	25	2.88
Recto	C20	22	2.53
Hígado y conductos biliares intrahepáticos	C22	16	1.84
Glándula tiroides	C73	16	1.84
Estómago	C16	15	1.73
Glándula prostática	C61	10	1.15
Unión rectosigmoidea	C19	7	0.81
Otras localizaciones		103	11.87

Cuadro 15. Distribución de los casos de cáncer según su localización en los pacientes masculinos, INCART, 2020

Localización	CIE-O	Casos	%
Glándula prostática	C61	96	24.62
Sistemas hematopoyético y reticuloendotelial	C42	53	13.59
Bronquios y pulmón	C34	29	7.44
Colon	C18	28	7.18
Ganglios linfáticos	C77	22	5.64
Estómago	C16	21	5.38
Recto	C20	17	4.36
Piel	C44	11	2.82
Hígado y conductos biliares intrahepáticos	C22	10	2.56
Laringe	C32	9	2.31
Tejido conjuntivo, subcutáneo y de otros tejidos blandos	C49	9	2.31
Esófago	C15	8	2.05
Mama	C50	6	1.54
Vejiga urinaria	C67	6	1.54
Sitio primario desconocido	C80	6	1.54
Otras localizaciones		59	15.13

Cuadro 16. Distribución de los casos de cáncer según su localización en los pacientes femenino, INCART, 2020

Localización	CIE-O	Casos	%
Mama	C50	181	28.73
Cuello uterino	C53	96	15.24
Sistemas hematopoyético y reticuloendotelial	C42	52	8.25
Colon	C18	43	6.83
Bronquios y pulmón	C34	34	5.40
Cuerpo uterino	C54	29	4.60
Ganglios linfáticos	C77	19	3.02
Estómago	C16	18	2.86
Ovario	C56	17	2.70
Hígado y conductos biliares intrahepáticos	C22	14	2.22
Piel	C44	13	2.06
Glándula tiroides	C73	13	2.06
Recto	C20	11	1.75
Tejido conjuntivo, subcutáneo y de otros tejidos blandos	C49	8	1.27
Encéfalo	C71	8	1.27
Otras localizaciones		74	11.75

Cuadro 17. Distribución de los casos de cáncer según su localización en los pacientes masculinos, INCART, 2021

Localización	CIE-O	Casos	%
Glándula prostática	C61	79	22.83
Sistemas hematopoyético y reticuloendotelial	C42	56	16.18
Bronquios y pulmón	C34	29	8.38
Colon	C18	23	6.65
Ganglios linfáticos	C77	22	6.36
Estómago	C16	15	4.34
Hígado y conductos biliares intrahepáticos	C22	12	3.47
Esófago	C15	11	3.18
Recto	C20	9	2.60
Páncreas	C25	9	2.60
Vejiga urinaria	C67	8	2.31
Piel	C44	6	1.73
Tejido conjuntivo, subcutáneo y de otros tejidos blandos	C49	6	1.73
Laringe	C32	5	1.45
Encéfalo	C71	5	1.45
Otras localizaciones		51	14.74

Cuadro 18. Distribución de los casos de cáncer según su localización en los pacientes femenino, INCART, 2021

Localización	CIE-O	Casos	%
Mama	C50	147	28.71
Sistemas hematopoyético y reticuloendotelial	C42	64	12.50
Cuello uterino	C53	59	11.52
Colon	C18	30	5.86
Bronquios y pulmón	C34	28	5.47
Recto	C20	20	3.91
Cuerpo uterino	C54	19	3.71
Ganglios linfáticos	C77	18	3.52
Ovario	C56	12	2.34
Estómago	C16	12	2.34
Hígado y conductos biliares intrahepáticos	C22	11	2.15
Páncreas	C25	11	2.15
Encéfalo	C71	10	1.95
Glándula tiroides	C73	7	1.37
Piel	C44	6	1.17
Otras localizaciones		58	11.33

Gráfico 10. Distribución de los casos de cáncer según su localización en pacientes de ambos sexos, INCART, 2019-2021

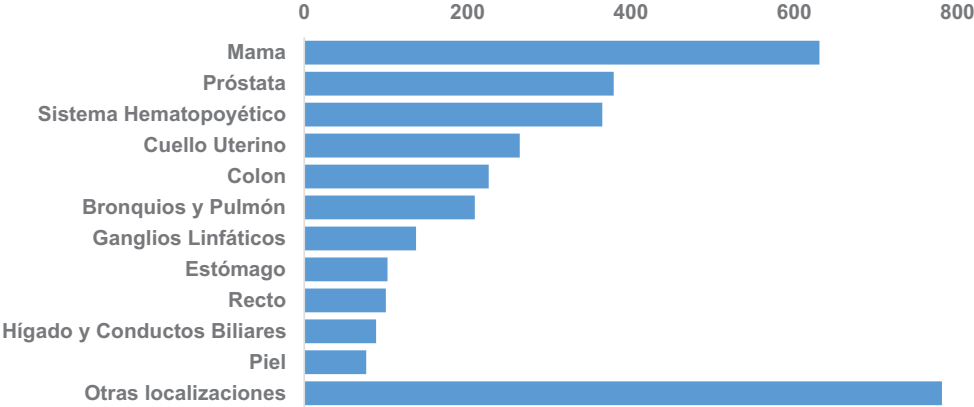


Gráfico 11. Distribución de los casos de cáncer según su localización en pacientes masculinos, INCART, 2019-2021

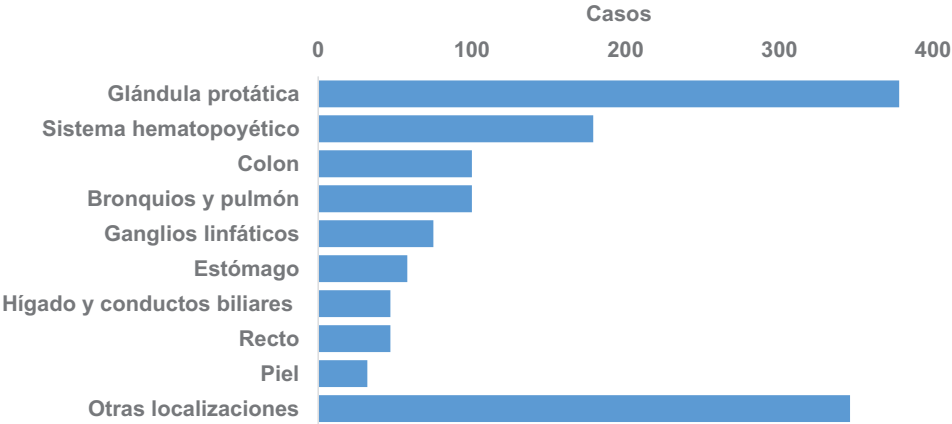
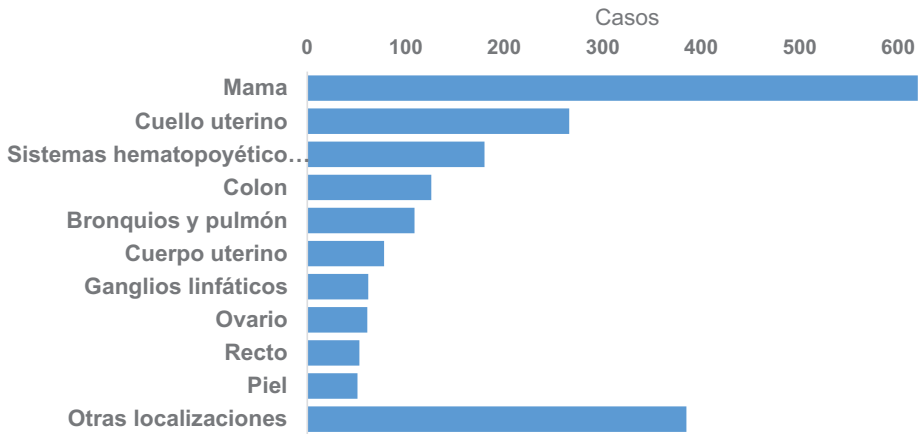


Gráfico 12. Distribución de los casos de cáncer según su localización en pacientes femeninas, INCART, 2019-2021



Cuadro 19. Distribución de los casos de cáncer según morfología en pacientes de ambos sexos, INCART, 2019

Morfología	Casos	%
Adenocarcinoma	504	34.03
Carcinoma epidermoide	205	13.84
Carcinoma ductal	250	16.88
Carcinoma lobulillar	11	0.74
Carcinoma ductal y lobulillar infiltrante	2	0.14
Cistadenocarcinoma	16	1.08
Carcinoma papilar	15	1.01
Carcinoma hepatocelular y/o colangiocarcinoma	24	1.62
Carcinoma neuroendocrino	10	0.68
Otros carcinomas ¹	111	7.49
Leucemia mieloide	17	1.15
Otras leucemias ²	27	1.82
Mieloma múltiple	50	3.38
Síndrome mielodisplásico	16	1.08
Linfoma Hodgkin	23	1.55
Otros linfomas ³	64	4.32
Sarcomas ⁴	39	2.63
Tumores gliales ⁵	14	0.95
Otras morfologías ⁶	75	5.60
Total	1481	100

¹Adenoescamoso, basocelular, indiferenciado.

²Linfoblástica, linfocítica, megacarioblástica, mielomonocítica, células peludas

³Linfoma cutáneo, folicular, linfoblástico, No Hodgkin

⁴Adenosarcoma, condrosarcoma, carcinosarcoma, liposarcoma

⁵Astrocitoma, glioblastoma, glioma maligno

⁶Neoplasia intraepitelial glandular, citopenias refractarias con o sin displasia multilineal, trombocitemia esencial, tumor carcinoide, melanoma

Cuadro 20. Distribución de los casos de cáncer según morfología en pacientes de ambos sexos, INCART, 2020

Morfología	Casos	%
Adenocarcinoma	327	31.96
Carcinoma ductal	152	14.86
Carcinoma lobulillar	9	0.88
Carcinoma ductal y lobulillar infiltrante	1	0.10
Carcinoma epidermoide	127	12.41
Carcinoma Hepatoceular y colangiocarcinoma	20	1.96
Otros carcinomas ¹	113	11.05
Leucemia mieloide	12	1.17
Otras leucemias ²	32	3.13
Linfoma de Hodgkin	12	1.17
Otros linfomas ³	40	3.91
Mieloma múltiple	40	3.91
Sarcomas ⁴	43	4.20
Otras morfologías ⁵	95	9.29
Total	1 023	100

¹ Adenoescamoso, medular, basocelular, papilar, cistoadenocarcinoma

² Linfoide, linfocítica, mielomonocítica, linfoblástica

³ Linfoma folicular, maligno difuso, de células del manto.

⁴ Adenosarcoma, leiomiomasarcoma, osteosarcoma, liposarcoma, rabdomiosarcoma, sarcoma de Ewing

⁵ Neuroblastoma, retinoblastoma, plasmocitoma, policitemia vera, mesotelioma, melanoma

Cuadro 21. Distribución de los casos de cáncer según morfología en los pacientes de ambos sexos, INCART, 2021

Morfología	Casos	%
Adenocarcinoma	277	32.44
Carcinoma ductal	130	15.22
Carcinoma lobulillar	4	0.47
Carcinoma ductal y lobulillar infiltrante	1	0.12
Carcinoma epidermoide	81	9.48
Carcinoma hepatocelular y colangiocarcinoma	14	1.64
Otros carcinomas ¹	112	13.11
Mieloma múltiple	41	4.80
Leucemia mieloide	17	1.99
Otras leucemias ²	41	4.80
Linfoma de Hodgkin	11	1.29
Otros linfomas ³	44	5.15
Sarcomas ⁴	22	2.58
Otras morfologías ⁵	59	6.91
Total	854	100

¹ Adenoescamoso, basaloide, basocelular, papilar, medular, cistoadenocarcinoma

² Leucemia aguda, linfocítica, monocítica

³ Linfoblástico, no Hodgkin, angioinmunoblásticos

⁴ Liposarcoma, condrosarcoma, fibromixosarcoma, de Ewing

⁵ Adenomatosis pulmonar, carcinomatosis, gastrinoma, melanoma, seminoma, trombocitemia esencial, tumores gliales

Cuadro 22. Distribución de los casos de defunciones por cáncer según su localización, INCART, 2019

Localización	Defunciones	%
Mama	68	14.81
Glándula prostática	47	10.24
Pulmón	44	9.59
Cuello uterino	35	7.63
Colorrectal	41	8.93
Sistema hematopoyético	57	12.42
Ganglio linfático	19	4.14
Páncreas	12	2.61
Estómago	12	2.61
Otras localizaciones	124	27.02
Total	459	100

Cuadro 23. Distribución de los casos de defunciones por cáncer según su localización, INCART, 2020

Localización	Defunciones	%
Mama	57	15.16
Sistema hematopoyético	46	12.23
Pulmón	42	11.17
Glándula prostática	36	9.57
Colorrectal	35	9.31
Ganglio linfático	24	6.38
Cuello Uterino	20	5.32
Estómago	16	4.26
Hígado y vías biliares	10	2.66
Otras localizaciones	90	23.94
Total	376	100

Cuadro 24. Distribución de los casos de defunciones por cáncer según su localización, INCART, 2021

Localización	Defunciones	%
Mama	48	10.98
Pulmón	40	9.15
Colorrectal	51	11.67
Próstata	36	8.24
Cuello Uterino	23	5.26
Sistema hematopoyético	55	12.59
Ganglios linfáticos	28	6.41
Estómago	17	3.89
Páncreas	15	3.43
Hígado y vías biliares	11	2.52
Otras localizaciones	113	25.86
Total	437	100

Cuadro 25. Defunciones y tasas de mortalidad por cáncer según su localización, INCART, 2019

Localización	Defunciones	Casos de cáncer	Tasa de mortalidad
Mama	68	297	45.9
Glándula prostática	47	203	31.7
Pulmón	44	89	29.7
Cuello uterino	35	109	23.6
Colorrectal	41	145	27.7
Sistema hematopoyético	57	140	38.5
Ganglio linfático	19	56	12.8
Páncreas	12	13	8.1
Estómago	12	37	8.1
Otras localizaciones	124	392	83.7
Total	459	1481	309.9

Cuadro 26. Defunciones y tasas de mortalidad por cáncer según su localización, INCART, 2020

Localización	Defunciones	Casos de cáncer	Tasa de mortalidad
Mama	57	187	55.72
Sistema hematopoyético	46	105	44.97
Pulmón	42	63	41.06
Glándula prostática	36	96	35.19
Colorrectal	35	99	34.21
Ganglio linfático	24	41	23.46
Cuello uterino	20	96	19.55
Estómago	16	39	15.64
Hígado y vías biliares	10	24	9.78
Otras localizaciones	90	273	87.98
Total	376	1023	367.5

Cuadro 27. Defunciones y tasas de mortalidad por cáncer según su localización, INCART, 2021

Localización	Defunciones	Casos de cáncer	Tasa de mortalidad
Mama	48	149	46.9
Pulmón	40	57	39.1
Colorrectal	51	82	49.9
Próstata	36	80	35.2
Cuello Uterino	23	59	22.5
Sistema hematopoyético	55	120	53.8
Ganglios linfáticos	28	40	27.4
Estómago	17	26	16.6
Páncreas	15	20	14.7
Hígado y vías biliares	11	23	10.8
Otras localizaciones	113	198	110.5
Total	437	854	511.7

Indicadores quinquenales

Cuadro 28. Distribución de casos por provincia de residencia según sexo, INCART, 2017-2021

Provincia	2017			2018			2019			2020			2021			
	Hombre	Mujer	Total	%	Hombre	Mujer	Total	%	Hombre	Mujer	Total	%	Hombre	Mujer	Total	%
	Azua	15	21	36	2.85	8	17	25	1.70	19	24	43	3.08	7	18	25
Bahoruco	12	13	25	1.98	0	0	0	0.00	11	16	27	1.78	1	5	6	0.59
Barahona	18	30	48	3.81	7	12	19	1.29	26	22	48	4.21	9	18	27	2.64
Dajabón	4	5	9	0.71	1	1	2	0.14	4	10	14	0.65	6	1	7	0.68
Distrito Nacional	44	72	116	9.20	47	87	134	9.13	81	134	215	13.13	83	128	211	20.63
Duarte	14	41	55	4.36	5	9	14	0.95	25	32	57	4.05	9	17	26	2.54
El Seibo	4	8	12	0.95	3	3	6	0.41	11	11	22	1.78	4	12	16	1.56
Eliás Piña	8	9	17	1.35	2	2	4	0.27	8	11	19	1.30	4	11	15	1.47
Españat	14	23	37	2.93	3	3	6	0.41	14	15	29	2.27	6	7	13	1.27
Hato Mayor	9	14	23	1.82	2	1	3	0.20	15	20	35	2.43	4	9	13	1.27
Hermanas Mirabal	8	8	16	1.27	1	0	1	0.07	5	16	21	0.81	10	9	19	1.86
Independencia	3	10	13	1.03	1	5	6	0.41	3	5	8	0.49	1	1	2	0.20
La Altagracia	15	9	24	1.90	4	13	17	1.16	12	17	29	1.94	5	12	17	1.66
La Romana	5	13	18	1.43	5	11	16	1.09	1	6	7	0.16	1	6	7	0.68
La Vega	17	30	47	3.73	7	12	19	1.29	11	31	42	1.78	17	12	29	2.83
María Trinidad Sánchez	9	10	19	1.51	5	4	9	0.61	12	22	34	1.94	3	12	15	1.47
Monseñor Nouel	12	13	25	1.98	8	6	14	0.95	8	16	24	1.30	3	9	12	1.17
Monte Cristi	4	10	14	1.11	0	2	2	0.14	3	5	8	0.49	6	1	7	0.68
Monte Plata	18	29	47	3.73	15	8	23	1.57	21	20	41	3.40	9	22	31	3.03
Pedernales	0	0	0	0.00	2	1	3	0.20	2	3	5	0.32	1	1	2	0.20
Peravia	13	26	39	3.09	11	13	24	1.63	20	14	34	3.24	9	14	23	2.25
Puerto Plata	12	20	32	2.54	4	0	4	0.27	17	17	34	2.76	7	13	20	1.96

Provincia	2017			2018			2019			2020			2021		
	Hombre	Mujer	%												
Samaná	6	11	1.35	5	8	0.89	11	11	1.78	2	4	0.59	3	4	0.82
San Cristóbal	40	56	7.61	24	33	3.88	54	41	8.75	23	37	5.87	20	30	5.84
San José de Ocoa	10	13	1.82	2	3	0.34	15	16	2.43	7	6	1.27	2	6	0.93
San Juan	36	58	7.45	6	21	1.84	39	57	6.32	32	36	6.65	15	25	4.67
San Pedro de Macoris	22	31	4.20	7	29	2.45	16	25	2.59	5	13	1.76	8	10	2.10
Sánchez Ramírez	13	20	2.62	8	11	1.29	10	22	1.62	12	14	2.54	5	11	1.87
Santiago	16	17	2.62	6	3	0.61	9	17	1.46	8	5	1.27	7	7	1.64
Santiago Rodríguez	5	6	0.87	3	1	0.27	6	8	0.97	3	0	0.29	0	2	0.23
Santo Domingo	77	134	16.73	359	554	62.19	103	146	16.69	73	141	20.92	53	87	16.36
Valverde	3	1	0.32	3	0	0.20	3	5	0.49	1	1	0.20	1	3	0.47
Desconocido	0	0	0.00	10	21	2.11	3	2	0.49	0	2	0.20	13	24	4.32
Extranjero	4	10	1.11	0	0	0.00	19	47	3.08	19	36	5.38	0	2	0.23
Total	490	771	12.61	574	894	14.68	617	864	11.70	390	633	10.23	340	516	10.00

Cuadro 29. Distribución de casos por provincia de residencia según estadio clínico, INCART, 2017-2021

Provincia	2017					2018					2019					2020					2021				
	I	II	III	IV	9*	I	II	III	IV	9*	I	II	III	IV	9*	I	II	III	IV	9*	I	II	III	IV	9*
Azuá	0	2	2	3	29	2	1	1	1	20	0	3	5	0	35	0	1	1	1	22	0	1	0	0	23
Bahoruco	0	2	4	3	16	0	0	0	0	0	0	0	2	0	25	0	0	0	0	6	0	1	1	0	6
Barahona	0	6	4	3	35	0	1	2	1	15	0	2	1	2	43	0	0	0	0	27	0	0	2	0	20
Dajabón	0	1	1	2	5	0	1	1	0	0	0	1	0	0	13	0	0	0	0	7	0	0	0	0	6
Distrito Nacional (Santo Domingo)	2	10	14	10	80	1	10	13	23	87	2	5	6	5	197	0	1	1	0	209	0	3	0	1	286
Duarte	1	6	3	5	40	1	0	2	2	9	0	0	2	1	54	0	0	1	1	24	0	1	0	0	19
El Seibo	0	0	1	1	10	0	1	0	0	5	0	2	0	2	18	0	0	0	0	16	0	2	0	0	9
Elías Piña	0	1	2	3	11	0	0	0	1	3	0	0	0	0	19	0	0	0	0	15	0	0	0	0	11
Españat	0	3	2	3	29	0	0	0	0	6	0	3	1	0	25	0	1	0	0	12	0	0	1	0	7
Hato Mayor	0	0	7	6	10	0	0	0	0	3	0	1	4	1	29	0	0	0	0	13	0	0	0	0	9
Hermanas Mirabal	0	1	2	1	12	0	0	0	0	1	1	0	0	4	16	0	0	2	1	16	0	0	0	0	3
Independencia	0	1	1	1	10	0	0	2	1	3	0	0	0	0	8	0	0	0	0	2	0	1	0	0	3
La Altagracia	0	1	2	2	19	0	1	0	2	14	0	0	0	2	27	0	1	0	0	16	0	1	0	0	14
La Romana	0	3	2	2	11	0	0	3	4	9	1	0	0	0	6	0	0	0	0	7	0	0	0	0	6
La Vega	1	3	4	6	33	0	0	1	0	18	0	1	1	1	39	0	3	0	0	26	0	0	0	0	11
María Trinidad Sánchez	0	1	1	1	16	0	0	0	0	9	0	0	3	1	30	0	0	1	0	14	0	0	1	0	13
Monseñor Nouel	0	0	2	5	18	0	0	0	1	13	0	0	0	1	23	0	0	0	0	12	0	1	0	0	9
Monte Cristi	1	1	0	2	10	0	0	1	1	0	0	0	0	0	8	0	0	0	0	7	0	0	0	0	5
Monte Plata	0	5	4	8	30	0	2	3	0	18	0	2	4	1	34	0	0	1	0	30	0	1	0	0	20
Pedernales	0	0	0	0	0	0	0	1	0	2	0	0	0	0	5	0	0	0	0	2	0	0	0	0	2
Peravia	2	0	1	5	31	1	2	1	0	20	1	0	1	1	31	0	0	0	0	23	0	0	0	0	8
Puerto Plata	2	4	5	4	17	0	0	0	1	3	0	2	2	1	29	0	0	0	0	20	0	1	0	0	9
Samaná	0	2	1	3	11	0	0	1	0	12	0	1	1	0	20	0	0	0	0	6	0	0	1	1	5
San Cristóbal	1	13	8	14	60	0	4	7	8	38	0	1	0	1	93	0	2	0	0	58	0	0	0	0	50

Provincia	2017				2018				2019				2020				2021									
	I	II	III	IV	9*	I	II	III	IV	9*	I	II	III	IV	9*	I	II	III	IV	9*						
San José de Ocoa	2	1	0	2	18	0	0	0	0	5	0	0	3	0	28	0	1	0	0	0	12	0	0	0	0	8
San Juan	1	6	11	17	59	0	3	2	4	18	0	1	2	2	91	0	2	0	0	0	66	0	1	1	0	38
San Pedro de Macoris	1	5	6	6	35	0	5	2	1	28	0	3	2	2	34	0	1	0	0	0	17	0	1	0	0	17
Sánchez Ramírez	0	2	5	1	25	0	0	1	1	17	0	2	0	3	27	1	0	0	0	0	25	0	0	2	1	13
Santiago	0	5	4	6	18	0	0	0	2	7	0	0	3	0	23	0	0	0	0	0	13	0	0	0	0	14
Santiago Rodríguez	1	1	0	1	8	0	0	0	0	4	0	3	2	0	9	0	0	0	0	0	3	0	0	0	0	2
Santo Domingo	2	17	29	35	128	13	48	45	89	718	1	10	13	4	221	0	5	4	1	204	0	4	3	0	133	
Valverde	0	0	0	1	3	0	0	1	1	1	0	0	0	0	8	0	0	0	0	2	0	0	0	0	0	4
Desconocido	0	0	0	0	0	0	0	1	0	30	0	0	0	0	5	0	0	2	0	0	0	0	2	1	1	33
Extranjero	0	1	0	1	12	0	0	0	0	0	1	2	2	2	59	0	2	2	0	51	0	0	0	0	0	2
Total	17	104	128	163	849	18	79	91	144	1,136	7	45	60	37	1,332	1	20	15	4	983	0	21	13	4	818	

*Estadio clínico desconocido

† Se refiere a la extensión del cáncer. En cuanto más alto es el número de estadaje, mayor es el tamaño del tumor y la extensión del tumor. Para los estadios I, II y III indican presencia local del cáncer, mientras que el estadio IV indica que el cáncer se ha diseminado a partes distintas del cuerpo (metástasis).

Cuadro 30. Distribución de casos por localización más frecuente según año, INCART, 2017-2021.

	2017			2018			2019			2020			2021		
	Localización	Casos	Localización	Casos	Localización	Casos	Localización	Casos	Localización	Casos	Localización	Casos	Localización	Casos	
Hombre	Glándula prostática	126	Glándula prostática	175	Glándula prostática	203	Glándula prostática	99	Glándula prostática	99	Glándula prostática	79	Glándula prostática	79	
	Sistemas hematopoyético	53	Sistema Hematopoyético	64	Sistemas hematopoyético y reticuloendotelial	70	Sistemas hematopoyético y reticuloendotelial	53	Sistemas hematopoyético y reticuloendotelial	53	Sistemas hematopoyético y reticuloendotelial	56	Sistemas hematopoyético y reticuloendotelial	56	
	Colon	44	Colon	45	Colon	50	Colon	29	Bronquios y pulmón	29	Bronquios y pulmón	29	Bronquios y pulmón	29	
	Bronquio y pulmón	40	Piel	30	Bronquios y pulmón	43	Bronquios y pulmón	28	Colon	28	Colon	23	Colon	23	
	Ganglios linfáticos	20	Bronquios y pulmón	26	Ganglios linfáticos	31	Ganglios linfáticos	22							
	Piel	19	Ganglios Linfáticos	26	Hígado y conductos biliares intrahepáticos	25	Estómago	21	Estómago	21	Estómago	15	Estómago	15	
	Encéfalo	16	Estómago	23	Estómago	22	Recto	17	Recto	17	Hígado y conductos biliares intrahepáticos	12	Hígado y conductos biliares intrahepáticos	12	
	Recto	16	Encéfalo	22	Recto	21	Piel	11	Piel	11	Esófago	11	Esófago	11	
	Estómago	16	Recto	20	Amígdala	20	Hígado y conductos biliares intrahepáticos	10	Hígado y conductos biliares intrahepáticos	10	Páncreas	9	Páncreas	9	
	Esófago	12	Esófago	14	Piel	15	Laringe	9	Recto	9	Recto	9	Recto	9	
Mujer	Mama	312	Mama	355	Mama	292	Mama	181	Mama	181	Mama	147	Mama	147	
	Sistemas hematopoyético	66	Cuello uterino	103	Cuello uterino	108	Cuello uterino	96	Sistemas hematopoyético y reticuloendotelial	96	Sistemas hematopoyético y reticuloendotelial	64	Sistemas hematopoyético y reticuloendotelial	64	
	Cuello uterino	60	Sistema Hematopoyético	71	Sistemas hematopoyético y reticuloendotelial	71	Sistemas hematopoyético y reticuloendotelial	52	Cuello uterino	52	Cuello uterino	58	Cuello uterino	58	
	Bronquio y pulmón	38	Bronquios y pulmón	42	Colon	54	Colon	43	Colon	43	Colon	30	Colon	30	
	Ganglios linfáticos	36	Colon	40	Bronquios y pulmón	47	Bronquios y pulmón	34	Bronquios y pulmón	34	Bronquios y pulmón	28	Bronquios y pulmón	28	
	Colon	33	Recto	28	Cuerpo uterino	30	Cuerpo uterino	29	Cuerpo uterino	29	Cuerpo uterino	20	Cuerpo uterino	20	
	Cuerpo del útero	28	Estómago	26	Ovario	27	Ganglios linfáticos	19	Recto	19	Recto	20	Recto	20	
	Estómago	21	Cuerpo Uterino	26	Ganglios linfáticos	25	Estómago	18	Ganglios linfáticos	18	Ganglios linfáticos	18	Ganglios linfáticos	18	
	Recto	16	Ganglios Linfáticos	25	Piel	25	Ovario	17	Estómago	17	Estómago	12	Estómago	12	
	Encéfalo	15	Piel	20	Recto	22	Hígado y conductos biliares intrahepáticos	14	Hígado y conductos biliares intrahepáticos	14	Ovario	12	Ovario	12	

Gráfico 13. Distribución de casos por localización más frecuente según año, hombres, INCART, 2017-2021.

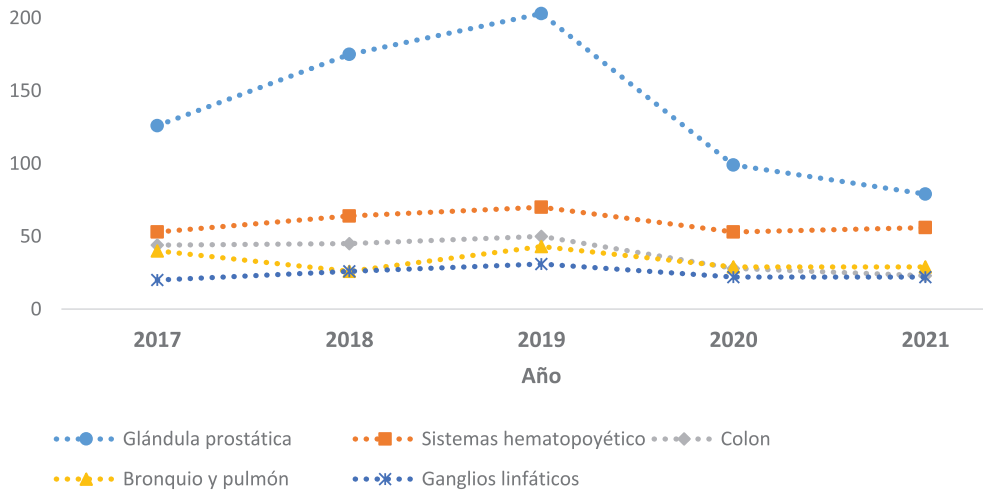
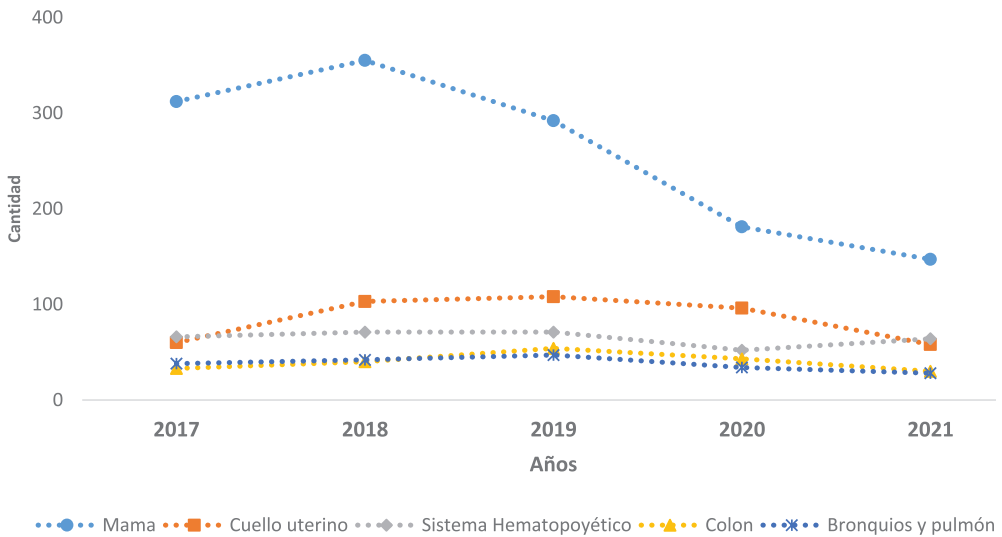


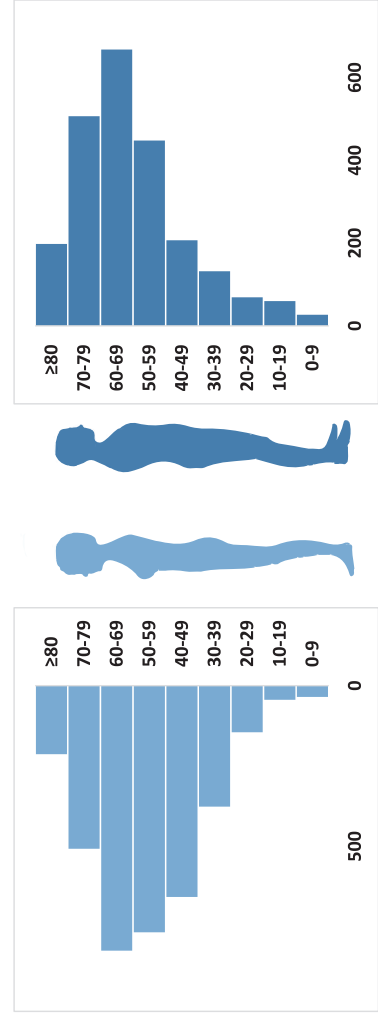
Gráfico 14. Distribución de casos por localización más frecuente según año, mujeres, INCART, 2017-2021.



Cuadro 31. Distribución de casos por grupo de edad según año, ambos sexo, INCART, 2017-2021.

Grupo de edad	2017			2018			2019			2020			2021		
	Hombre	Mujer	Total	Hombre	Mujer	Total									
	0-9	7	10	17	5	4	9	6	2	8	6	13	19	3	6
0-19	12	9	21	14	5	19	12	13	25	11	8	19	11	9	20
20-29	7	19	26	16	27	43	18	31	49	10	43	53	18	25	43
30-39	28	65	93	33	95	128	30	96	126	23	68	91	18	52	70
40-49	37	144	181	41	167	208	63	166	229	41	99	140	25	81	106
50-59	76	160	236	124	197	321	117	186	303	67	114	181	64	110	174
60-69	139	159	298	154	207	361	169	199	368	105	142	247	101	117	218
70-79	85	93	178	116	115	231	138	125	263	98	99	197	70	75	145
≥80	34	31	65	41	50	91	64	46	110	29	47	76	30	39	69
Total	425	690	1115	544	867	1411	617	864	1481	390	633	1023	340	514	854

Gráfico 15. Distribución de casos por grupo de edad según año, ambos sexo, INCART, 2017-2021.



Indicadores del Centro de Oncología Pediátrica

Dra. Wendy C. Gómez García

El Cáncer en niños ocupa menos del 1% de los cánceres a nivel global, se pronostica que 14 de cada 100,000 serán diagnosticados con enfermedades malignas, llegando a ser éste la 2da causa de muerte infantil después de los accidentes, para los menores entre los 1 a 14 años de vida según la American Cancer Society. Es relevante saber que el cáncer en los niños sí puede curarse en los países en vía de desarrollo, con una tasa de supervivencia por encima del 60%-70%, pronóstico que se eleva mientras más rápido se logra la atención oportuna.



Por esto es importante el referimiento oportuno al onco-pediatra, la adecuada recolección de una historia clínica y un buen examen físico. Los tumores más frecuentes son las leucemias, con el 40% de los casos, seguidos por los del sistema nervioso central con aproximadamente el 20%, y los linfomas con el 15%. El COP abrió sus puertas el 6 de noviembre del 2015 y ha logrado posicionarse como una de las principales unidades oncológicas pediátricas aceleradamente.

Cuadro 32. Distribución de casos por diagnóstico según sexo atendidos en el Centro de Oncología Pediátrica (COP), ambos sexo, INCART, 2019

Diagnósticos	Hombre	Mujer	Total
General	30	24	54
Tumores sólidos			
Astrocitoma	3	3	6
Carcinoma nasofaríngeo	1	0	1
Condrosarcoma	0	1	1
Fibrosarcoma	1	0	1
Ganglioma bulbo-espinal	1	0	1
Ganglioneuroma de mediastino	0	1	1
Glioblastoma	0	1	1
Histiocitoma maligno	0	1	1
Neuroblastoma	2	0	2
Osteosarcoma	1	1	2
Retinoblastoma	1	0	1
Sarcoma de Ewing	1	0	1
Tumor de Wilms	1	0	1
Tumores líquidos			
Leucemia linfoblástica aguda	0	2	2
Linfoma Hodgkin	2	2	4
Linfoma No Hodgkin	1	0	1

Fuente: Centro de Oncología Pediátrica (COP), Instituto Nacional del Cáncer Rosa Emilia Sánchez Pérez de Tavares (INCART)

Cuadro 33. Distribución de casos por diagnóstico según sexo atendidos en el Centro de Oncología Pediátrica (COP), ambos sexo, INCART, 2020

Diagnósticos	Hombre	Mujer	Total
General	10	19	29
Tumores sólidos			
Astrocitoma difuso grado I GBG	1	1	2
Carcinoma Epidermoide	2	0	2
Cáncer de tiroides	0	1	1
Ganglioneuroma	0	1	1
Glioma	1	1	2
Hepatoblastoma	0	1	1
Neuroblastoma	1	0	1
Osteosarcoma	1	1	2
Tumores neuroectodérmicos primitivos	2	2	4
Retinoblastoma	0	2	2
Sarcoma Pleomórfico	0	2	2
Tumor miofibroblástico inflamatorio	1	0	1
Tumores líquidos			
Histiocitosis de Langerhans	0	2	2
Lecuemia linfoblástica aguda	0	1	1
Lecuemia mieloblástica aguda	1	0	1
Linfoma de células B	0	1	1
Linfoma Hodgkin	0	1	1
Linfoma Linfoblástico	0	1	1
Linfoma No Hodgkin	0	1	1

Fuente: Centro de Oncología Pediátrica (COP), Instituto Nacional del Cáncer Rosa Emilia Sánchez Pérez de Tavares (INCART)

Cuadro 34. Distribución de casos por diagnóstico según sexo atendidos en el Centro de Oncología Pediátrica (COP), ambos sexo, INCART, 2021

Diagnósticos	Hombre	Mujer	Total
General	13	13	26
Tumores sólidos			
Astrocitoma	1	0	1
Cáncer de piel	2	2	4
Glioma	0	1	1
Meduloblastoma	1	0	1
Neoplasia fibromixioide de bajo grado	1	0	1
Cáncer epitelioide del SNC	0	1	1
Osteosarcoma	1	1	2
Rabdomiosarcoma	1	0	1
Retinoblastoma	0	4	4
Tumor neuroectodérmico primitivo	1	0	1
Tumores líquidos			
Leucemia granulocítica crónica	0	1	1
Leucemia linfoblástica	2	0	2
Leucemia linfoblástica aguda	0	0	0
Leucemia mieloide	2	0	2
Linfoma de Burkitt	0	1	1
Linfoma de Hodgkin	1	1	2
Linfoma linfoblástico tipo b	0	1	1

Fuente: Centro de Oncología Pediátrica (COP), Instituto Nacional del Cáncer Rosa Emilia Sánchez Pérez de Tavares (INCART)

Cuadro 35. Distribución de casos diagnosticados con tumores sólidos en el Centro de Oncología Pediátrica (COP) por grupo de edad en años y sexo, INCART, 2016-2021

Característica	Cantidad	%
General	58	100
Sexo		
Hombre	29	50
Mujer	29	50
Grupo de edad		
0-4	11	18.97
5-9	17	29.31
10-14	18	31.03
15-18	12	20.69

Fuente: Centro de Oncología Pediátrica (COP), Instituto Nacional del Cáncer Rosa Emilia Sánchez Pérez de Tavares (INCART)

Cuadro 36. Distribución de servicios ofrecidos por el Centro de Oncología Pediátrica (COP) por año y trimestre, INCART, 2019-2021

Servicio	2019				2020				2021						
	Trimestres				Trimestres				Trimestres						
	1	2	3	4	Total	1	2	3	4	Total	1	2	3	4	Total
Aspiración de médula ósea	21	20	13	26	80	6	11	22	34	73	17	52	26	45	140
Biopsias óseas	0	8	0	2	10	1	10	11	33	55	16	20	6	9	51
Consultas nuevas	26	44	28	34	132	30	10	13	20	73	23	27	28	24	102
Consultas subsecuentes	239	226	276	188	929	199	140	153	184	676	185	233	311	300	1 029
Infusiones quimioterapia	113	58	73	69	313	51	60	48	77	236	72	78	80	67	297
Ingresos	55	45	51	45	196	36	30	45	61	172	62	60	66	57	245
Líquido cefalorraquídeo + IT	101	27	59	84	271	32	75	99	71	277	79	98	81	110	368

Indicadores clínicos Hospital de Día

Cuadro 37. Distribución de aplicaciones de quimioterapia por grupo de edad y sexo, INCART, 2019-2021

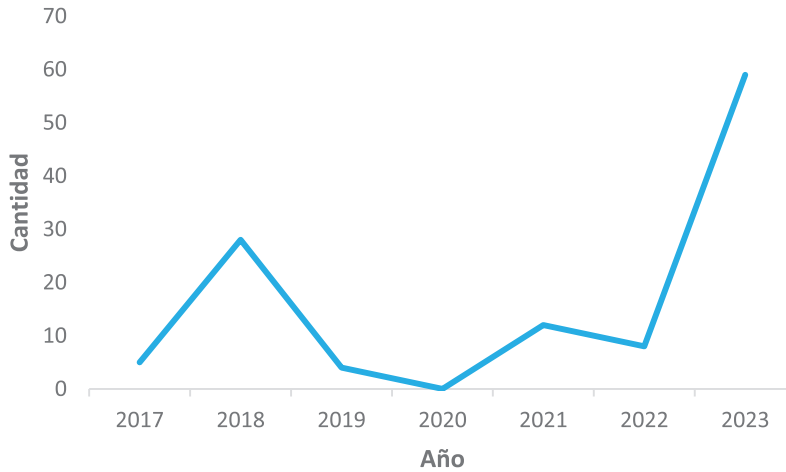
Grupo de edad	2019			2020			2021		
	Hombre	Mujer	Total	Hombre	Mujer	Total	Hombre	Mujer	Total
0-9	52	50	102	74	63	137	74	88	162
10-19	113	166	279	99	78	177	170	57	227
20-29	117	278	395	105	91	196	52	206	258
30-39	134	547	681	96	373	469	236	646	882
40-49	275	963	1 238	240	710	950	217	1 184	1 401
50-59	483	1 208	1 691	390	904	1 294	589	1 387	1 976
60-69	894	1 415	2 309	656	1 022	1 678	933	1 519	2 452
70-79	544	581	1 125	391	424	815	484	587	1 071
≥80-89	184	144	328	100	84	184	132	153	285

Cuadro 38. Aplicaciones trimestrales de quimioterapia según servicio, INCART, 2019-2021

Servicio	2019				2020				2021						
	Trimestre				Trimestre				Trimestre						
	1	2	3	4	Total	1	2	3	4	Total	1	2	3	4	Total
Hematología	651	709	583	655	2 598	637	373	393	411	1 814	530	636	744	674	2 584
Hematología pediátrica	31	13	14	25	83	20	15	31	25	91	20	22	21	14	77
Oncología médica	1 277	1 440	1 214	1 179	5 110	1 036	776	856	1 037	3 705	1 165	1 355	1 586	1 612	5 718
Oncología pediátrica	87	53	56	44	240	45	47	35	59	186	58	65	65	52	240
Cirugía urológica	4	0	0	0	4	1	0	0	0	1	2	0	0	0	2
Total	2 050	2 215	1 867	1 903	8 035	1 739	1 211	1 315	1 532	5 797	1 775	2 078	2 416	2 352	8 621

Indicadores del Programa Farmacovigilancia

Gráfico 16. Distribución de notificaciones de reacciones adversas a medicamentos por año de notificación, INCART, 2017-2023.



Nota: 19/59 notificaciones reportadas en el 2023 corresponden a eventos retrospectivos del 2022

Cuadro 39. Cantidad de notificaciones de reacciones adversas a medicamentos recibidas por el programa de farmacovigilancia según el departamento que realizó la notificación, INCART, 2017-2023

Departamento	Notificaciones	%
Hospital de día	70	60.34
Oncopediatría	24	20.69
Urgencias	8	6.90
Hospitalización	5	4.31
Consulta	5	4.31
Radiodiagnóstico	3	2.59
Gerencia de enfermería	1	0.86
Total	116	100

Cuadro 40. Cantidad de notificaciones de reacciones adversas a medicamentos recibidas por el programa de farmacovigilancia según la gravedad de la notificación, INCART, 2018-2019

Gravedad	Notificaciones	%
Graves	31	58.5
Amenaza la vida del paciente	17	54.8
Causó hospitalización	5	16.1
Prolongó la hospitalización	9	29.0
No graves	22	41.5
Total	53	100

Cuadro 41. Cantidad de notificaciones de reacciones adversas a medicamentos recibidas por el programa de farmacovigilancia según medicamento sospechoso, INCART, 2018–2019

Medicamento	Notificaciones	%
Rituximab	6	11.3
Iopamidol	5	9.4
Paclitaxel	5	9.4
Docetaxel	4	7.5
Filgrastim	4	7.5
Plaquetas por aféresis	4	7.5
Morfina	3	5.7
Vancomicina	3	5.7
Paquete globular	3	5.7
Ranitidina	2	3.8
Otros medicamentos*	14	26.4
Total	53	100

* Oxaliplatino, Carboplatino, Cisplatino, Ciclofosfamida, Levofloxacina, entre otros

Cuadro 42. Cantidad de notificaciones de reacciones adversas a medicamentos recibidas por el programa de farmacovigilancia según el tipo de reacción adversa al medicamento, INCART, 2018–2019

Tipo de reacción adversa	Notificaciones	%
Reacciones cutáneas	30	44.1
Disnea	12	17.6
Dolor torácico	6	8.8
Mareo	3	4.4
Producto terapéutico ineficaz	3	4.4
Prurito	3	4.4
Shock anafiláctico	3	4.4
Dolor pélvico	2	2.9
Fiebre	2	2.9
Hipotensión	2	2.9
Neutropenia febril	2	2.9
Total	68	100

Nota: Puede haber más de un tipo de reacción adversa en una notificación.

Cuadro 44. Cantidad de consultas ofrecida por el Centro de Rehabilitación Oncológica (CRO) según grupo de edad y nacionalidad, INCART, 2019-2021

Característica	2019	2020	2021
General	762	471	727
Grupo de edad			
≤ 20	17	6	13
21-30	15	8	13
31-40	101	55	97
41-50	139	100	163
51-60	226	143	191
61-70	167	85	139
71-80	73	61	76
81-90	24	12	7
Nacionalidad			
Dominicana	762	463	727
Extranjera	0	0	0

Cuadro 45. Cantidad de terapias ofrecida por el Centro de Rehabilitación Oncológica (CRO) según trimestre y año, INCART, 2019-2021

Trimestres	Terapia física	Terapia cognitiva	Total
2019			
Trimestre 1	598	32	630
Trimestre 2	803	55	858
Trimestre 3	961	57	1 018
Trimestre 4	737	30	767
2020			
Trimestre 1	556	28	584
Trimestre 2	107	3	110
Trimestre 3	364	3	367
Trimestre 4	518	22	540
2021			
Trimestre 1	819	44	863
Trimestre 2	308	16	324
Trimestre 3	698	15	713
Trimestre 4	773	13	786

Centro de Radiooncología

Cuadro 46. Cantidad de servicios brindados por el Centro de Radiooncología por año, INCART, 2019-2021

Servicio	2019	2020	2021
Consultas	2 898	357	1 750
Simulaciones	382	308	440
Terapias	7 190	5 659	7 655
Radiocirugías	8	10	19
TOTAL	10 478	6 334	9 864

Cuadro 47. Cantidad de terapias brindados por el Centro de Radiooncología según tipo de tratamiento, INCART, 2019-2021

Tratamiento	2019	2020	2021	Total
Radioterapia	7 097	5 633	7 655	20 385
Braquiterapia	93	26	0	119
Ortovoltaje	0	0	0	0
TOTAL	7 190	5 659	7 655	20 504

Programa de Detección Oportuna del Cáncer (PDOC)

Cuadro 48. Cantidad de participantes en el Programa de Detección Oportuna de Cáncer (PDOC) por localización y sexo, INCART, 2020-2022

Localización	Sexo		Total
	Hombre	Mujer	
Glándula prostática	227	0	227
Cuello uterino	0	134	134
Mama	0	82	82
Total	227	216	443

Cuadro 49. Cantidad de participantes en el Programa de Detección Oportuna de Cáncer (PDOC) por grupo de edad en años, INCART, 2020-2022

Grupo de edad	Casos	%
20-29	12	2.71
30-39	35	7.92
40-49	116	26.24
50-59	112	25.34
60-69	82	18.55
70-79	68	15.38
≥80	17	3.85
Total	442	100

Cuadro 50. Cantidad de participantes en el Programa de Detección Oportuna de Cáncer (PDOC) por tipo de aseguramiento, INCART, 2020-2022

Aseguramiento	Casos	%
Público	186	41.99
Privado	257	58.01
Total	443	100

Indicadores Hospitalarios

Cuadro 51. Cantidad de consultas externas atendidas por año y tipo según servicio de consulta, INCART, 2019-2021

Servicio de consulta	2019			2020			2021		
	Primera vez	Subsecuentes	Total	Primera vez	Subsecuentes	Total	Primera vez	Subsecuentes	Total
Anestesia	0	1 582	1 582	0	844	844	0	1 865	1 865
Atención inmediata	0	4 562	4 562	0	2 486	2 486	0	12 947	12 947
Cardiología	0	5 336	5 336	0	3 844	3 844	0	6 178	6 178
Cirugía cabeza y cuello	0	1 843	1 843	0	986	986	0	1 816	1 816
Cirugía ginecológica	1 134	5 620	6 754	653	3 328	3 981	1 379	6 085	7 464
Cirugía mamas	1 192	5 923	7 115	711	3 223	3 934	891	5 776	6 667
Cirugía maxilofacial	54	230	284	55	165	220	86	310	396
Cirugía ortopédica	82	401	483	52	233	285	118	453	571
Cirugía otorrino	93	314	407	39	119	158	95	367	462
Cirugía piel y tejido blando	0	1 683	1 683	0	1 090	1 090	0	2 144	2 144
Cirugía plástica y reconstructiva	0	240	240	0	188	188	0	533	533
Cirugía torácica	96	415	511	58	354	412	136	638	774
Cirugía urología	455	2 624	3 079	282	1 882	2 164	717	3 138	3 855
Cuidados paliativos	613	2 889	3 502	517	2 509	3 026	794	3 179	3 973
Dermatología	0	846	846	0	420	420	0	678	678
Endocrinología	0	3 486	3 486	0	2 023	2 023	0	3 868	3 868
Gastroenterología	688	4 349	5 037	447	2 365	2 812	737	4 836	5 573

Servicio de consulta	2019			2020			2021		
	Primera vez	Subsecuentes	Total	Primera vez	Subsecuentes	Total	Primera vez	Subsecuentes	Total
Hematología	568	5 009	5 577	260	4 037	4 297	620	5 389	6 009
Hematología pediátrica	101	156	257	86	128	214	70	153	223
Infectología	0	172	172	0	74	74	0	245	245
Medicina física y rehabilitación	169	593	762	142	329	471	179	548	727
Medicina interna	0	2 553	2 553	0	1 346	1 346	0	3 070	3 070
Nefrología	0	1 592	1 592	0	950	950	0	1 610	1 610
Neumología	0	2 181	2 181	0	1 252	1 252	0	2 450	2 450
Neurocirugía	91	318	409	29	124	153	101	383	484
Neurología	0	696	696	0	358	358	0	653	653
Nutrición	0	1 150	1 150	0	675	675	0	1 214	1 214
Oncología médica	1 491	14 705	16 196	794	12 309	13 103	1 704	16 329	18 033
Oncología pediátrica	98	707	805	63	549	612	86	845	931
Prevención y detección oportuna	0	17 800	17 800	0	6 366	6 366	0	16 353	16 353
Psicooncología	0	581	581	0	277	277	0	934	934
Psiquiatría	0	381	381	0	173	173	0	385	385
Radiodiagnóstico	0	22 776	22 776	0	12 775	12 775	0	29 532	29 532
Radio oncología	414	2 484	2 898	357	0	357	564	1 186	1 750
Salud bucal	0	0	0	0	0	0	0	657	657
Total	7 339	116 197	123 536	4 545	67 781	72 326	8 277	136 747	145 024

Cuadro 52. Cantidad de consultas externas atendidas por año y tipo según servicio de consulta, INCART, 2019-2021

Servicio	2019				2020				2021			
	1	2	3	4	1	2	3	4	1	2	3	4
Anestesia	336	416	443	387	351	28	117	348	398	452	526	489
Atención inmediata	1 068	1 040	1 204	1 250	969	0	2	1 515	3 096	3 051	3 666	3 134
Cardiología	1 453	1 216	1 289	1 378	1 454	260	699	1 431	1 414	1 543	1 606	1 615
Cirugía cabeza y cuello	427	482	442	492	481	34	127	344	457	461	456	442
Cirugía ginecológica	1 756	1 625	1 448	1 925	1 686	120	593	1 582	1 729	1 836	1 930	1 969
Cirugía mamas	1 499	1 768	1 857	1 991	1 718	112	491	1 613	1 588	1 775	1 519	1 785
Cirugía maxilofacial	51	78	82	73	86	11	53	70	99	92	109	96
Cirugía ortopedia	118	104	159	102	116	14	53	102	132	144	166	129
Cirugía otorrino	109	103	100	95	53	4	25	76	101	125	112	124
Cirugía piel y tejido blando	405	447	416	415	373	65	187	465	403	519	601	621
Cirugía plástica y reconstructiva	51	59	83	47	56	10	30	92	130	121	178	104
Cirugía torácica	126	134	118	133	111	23	104	174	159	200	200	215
Cirugía urológica	713	769	759	838	850	111	349	854	961	922	877	1 095
Cuidados paliativos	828	853	901	920	865	604	681	876	849	932	1 057	1 135
Dermatología	188	243	227	188	177	14	80	149	138	176	203	161
Endocrinología	936	748	1 041	761	841	97	253	832	913	927	983	1 045
Gastroenterología	1 316	1 185	1 179	1 357	1 215	85	291	1 221	1 454	1 595	1 230	1 294
Hematología	1 305	1 283	1 499	1 490	1 388	688	969	1 252	1 408	1 493	1 552	1 556
Hematología pediátrica	49	54	75	79	57	39	60	58	67	68	44	44
Hepatobiliar	0	0	0	0	0	0	0	0	0	0	104	138
Infectología	39	39	57	37	37	9	12	16	40	60	72	73

Servicio	2019				2020				2021			
	1	2	3	4	1	2	3	4	1	2	3	4
Medicina física y rehabilitación	142	209	251	160	198	36	102	135	197	154	140	236
Medicina interna	559	652	715	627	578	50	172	546	769	772	750	779
Nefrología	351	405	435	401	347	53	218	332	369	399	422	420
Neumología	633	496	561	491	474	55	165	558	475	556	668	751
Neurocirugía	82	79	133	115	108	19	10	16	98	131	145	110
Neurología	172	175	170	179	145	16	68	129	172	27	241	213
Nutrición	228	276	330	316	278	38	105	254	257	277	320	360
Oncología médica	3 898	4 095	4 064	4 139	3 963	1 946	3 045	4 149	4 195	4 497	4 706	4 635
Oncología pediátrica	225	185	226	169	190	115	134	173	187	218	262	264
Prevención y detección oportuna	5 023	4 022	4 111	4 644	3 592	0	0	2 774	3 360	3 184	3 261	6 548
Psicooncología	140	141	137	163	120	16	54	87	137	216	265	316
Psiquiatría	92	115	98	76	82	0	25	66	69	75	116	125
Radiodiagnóstico	5 092	5 935	6 140	5 609	4 924	126	1 830	5 895	6 736	6 431	8 237	8 128
Salud bucal	0	0	0	0	0	0	0	0	0	161	210	286
Total	29 410	29 431	30 750	120 638	27 883	4 798	11 104	28 184	32 557	33 590	36 830	40 297

Cuadro 53. Hospitalización y defunciones intrahospitalaria, INCART, 2019-2021

Año	Defunciones	Egresos	Ingresos
2019	370	2 617	2 618
2020	301	2 037	2 039
2021	344	3 052	3 057

Cuadro 54. Actividades quirúrgicas por servicio, INCART, 2019-2021

Servicio	2019		2020		2021	
	Menor	Mayor	Menor	Mayor	Menor	Mayor
Anestesia	0	16	0	28	0	27
Cirugía cabeza y cuello	52	88	28	58	50	128
Cirugía ginecológica	155	163	49	80	85	207
Cirugía mamas	161	169	92	129	238	190
Cirugía maxilofacial	16	15	13	25	7	23
Cirugía ortopedia	12	27	8	6	7	19
Cirugía otorrino	12	1	5	0	15	1
Cirugía piel y tejido blando	47	57	30	123	55	96
Cirugía plástica y reconstructiva	14	141	14	10	42	169
Cirugía torácica	15	1	3	15	12	21
Cirugía urológica	16	25	1	29	6	35
Hematología	1	22	0	3	0	28
Hematología pediátrica	0	6	3	18	1	0
Neurocirugía	1	10	0	2	0	9
Oncología médica	8	9	0	4	0	14
Oncología pediátrica	0	1	2	12	0	5
Total	510	751	248	542	518	972

Cuadro 55. Procedimientos diagnósticos del centro de imágenes, INCART, 2019-2021

Servicio	2019		2020		2021	
	Interno	Externo	Interno	Externo	Interno	Externo
Biopsia	7	2 203	9	1 355	4	3 310
Ecocardiograma	115	0	102	0	110	0
Mamografía	0	5 141	0	2 615	0	6 706
Medicina nuclear	0	20	0	186	0	844
Rayos x	2 408	6 300	1 917	3 444	2 381	5 795
Resonancia magnética	130	1 847	46	1 102	83	3 478
Sonografía	484	5 329	329	2 679	477	6 892
Sonografía de mama	4	8 276	1	3 950	4	9 655
Tomografía	406	5 399	612	4 990	912	10 929
Total	3 554	34 515	3 016	20 321	3 971	47 609

Referencias

Global Cancer Observatory. Dominican Republic. (2020). Recuperado de: <https://gco.iarc.fr/today/data/factsheets/populations/214-dominican-republic-fact-sheets.pdf>

Ministerio de Salud Pública (MSP). Indicadores Básicos de Salud. (2021). Recuperado de: <http://repositorio.ministeriodesalud.gob.do/handle/123456789/2273>

Institute for Health Metrics and Evaluation. (2017). Disponible en: <https://vizhub.healthdata.org/gbd-compare/>

Oficina Nacional de Estadística (ONE). Primeros resultados preliminares del X Censo Nacional de Población y Vivienda. (2022).. Disponible en: <https://www.one.gob.do/>

World Factbook CIA. (2016). Disponible en: <http://www.oratlas.com/libro-mundial/republica-dominicana/geografía>

National Cancer Institute. Cancer in Children and Adolescents. Childhood Cancer. Revisado en oct 8, 2018. Disponible en: <https://www.cancer.gov/types/childhood-cancers/child-adolescent-cancers-factsheet#:~:text=COG%20is%20the%20world's%20largest,a%20COG%2Dsponsored%20clinical%20trial.>

Gupta S, Howard SC, Hunger SP, et al. Treating Childhood Cancer in Low- and Middle-Income Countries. In: Disease Control Priorities, volume 3. <http://dcp-3.org/chapter/900/treating-childhood-cancers-low-and-middle-income-countries>

Institute of Medicine and National Research Council. (2003). Childhood Cancer Survivorship: Improving Care and Quality of Life. Washington, DC: The National Academies Press. doi.org/10.17226/10767.

Anexos

Anexo 1

Cuadro 1.1 Distribución de tumores por localización y sexo, INCART, 2019

Localización	CIE-O	Sexo		Total
		Hombre	Mujer	
Base de la lengua	C01	4	2	6
Otras partes y las no especificadas de la lengua	C02	3	4	7
Paladar	C05	3	2	5
Otras partes y las no especificadas de la boca	C06	3	6	9
Glándula parótida	C07	5	3	8
Amígdala	C09	20	4	24
Nasofaringe	C11	5	0	5
Hipofaringe	C13	2	0	2
Esófago	C15	6	6	12
Estómago	C16	22	15	37
Intestino delgado	C17	4	2	6
Colon	C18	48	52	100
Unión rectosigmoidea	C19	6	7	13
Recto	C20	21	22	43
Hígado y conductos biliares intrahepáticos	C22	25	16	41
Vesícula biliar	C23	1	4	5
Otras partes y las no especificadas de las vías biliares	C24	1	1	2
Páncreas	C25	6	7	13
Cavidad nasal y oído medio	C30	1	1	2
Senos paranasales	C31	2	1	3
Laringe	C32	14	6	20

Localización	CIE-O	Sexo		Total
		Hombre	Mujer	
Bronquios y pulmón	C34	42	47	89
Corazón, mediastino y pleura	C38	2	2	4
Huesos, articulaciones y cartílagos articulares de los miembros	C40	5	2	7
Huesos, articulaciones y cartílagos articulares de otros sitios y de los no especificados	C41	1	4	5
Sistemas hematopoyético y reticuloendotelial	C42	69	73	142
Piel	C44	15	25	40
Peritoneo y retroperitoneo	C48	2	5	7
Tejido conjuntivo, subcutáneo y de otros tejidos blandos	C49	12	6	18
Mama	C50	5	291	296
Vulva	C51	0	6	6
Vagina	C52	0	1	1
Cuello uterino	C53	3	105	108
Cuerpo uterino	C54	0	31	31
Útero, sai	C55	0	5	5
Ovario	C56	0	28	28
Otros órganos genitales femeninos y los no especificados	C57	0	1	1
Placenta	C58	0	1	1
Pene	C60	5	0	5
Glándula prostática	C61	189	10	199
Testículos	C62	1	0	1
Riñón	C64	2	1	3
Vejiga urinaria	C67	5	6	11
Ojo y anexos	C69	5	4	9
Meninges	C70	0	1	1
Encéfalo	C71	9	5	14
Glándula tiroides	C73	3	16	19
Ganglios linfáticos	C77	31	24	55
Sitio primario desconocido	C80	3	4	7

Cuadro 1.2 Distribución de tumores por localización y sexo, INCART, 2020

Localización	CIE-O	Sexo	
		Hombre	Mujer
Labio	C00	1	0
Base de la lengua	C01	0	1
Otras partes y las no especificadas de la lengua	C02	3	0
Piso de la boca	C04	0	1
Paladar	C05	1	1
Otras partes y las no especificadas de la boca	C06	2	2
Glándula parótida	C07	1	1
Otras glándulas salivales mayores y las no especificadas	C08	1	1
Amígdala	C09	4	0
Orofaringe	C10	2	1
Nasofaringe	C11	1	1
Otros sitios y los mal definidos del labio, la cavidad bucal y la faringe	C14	2	0
Esófago	C15	8	7
Estómago	C16	21	18
Intestino delgado	C17	3	5
Colon	C18	28	42
Unión rectosigmoidea	C19	2	4
Recto	C20	17	11
Año y conducto anal	C21	2	3
Hígado y conductos biliares intrahepáticos	C22	10	14
Vesícula biliar	C23	1	0
Páncreas	C25	5	4
Senos paranasales	C31	0	1
Laringe	C32	9	3
Bronquios y pulmón	C34	28	34
Timo	C37	1	0
Corazón, mediastino y pleura	C38	3	1
Huesos, articulaciones y cartílagos articulares de los miembros	C40	4	3
Huesos, articulaciones y cartílagos articulares de otros sitios y de los no especificados	C41	3	5
Sistemas hematopoyético y reticuloendotelial	C42	52	51

Localización	CIE-O	Sexo	
		Hombre	Mujer
Piel	C44	11	13
Nervios periféricos y sistema nervioso autónomo	C47	2	0
Peritoneo y retroperitoneo	C48	3	3
Tejido conjuntivo, subcutáneo y de otros tejidos blandos	C49	9	8
Mama	C50	5	167
Vulva	C51	0	2
Vagina	C52	1	2
Cuello uterino	C53	0	93
Cuerpo uterino	C54	0	29
Útero, sai	C55	0	3
Ovario	C56	0	17
Placenta	C58	0	1
Pene	C60	2	2
Glándula prostática	C61	92	1
Riñón	C64	3	3
Vejiga urinaria	C67	6	6
Ojo y anexos	C69	1	3
Encéfalo	C71	4	8
Glándula tiroides	C73	2	13
Ganglios linfáticos	C77	21	18
Sitio primario desconocido	C80	5	6

Cuadro 1.3 Distribución de tumores por localización y sexo, INCART, 2021

Localización	CIE-O	Sexo	
		Hombre	Mujer
Labio	C00	0	1
Base de la lengua	C01	2	1
Otras partes y las no especificadas de la lengua	C02	1	0
Piso de la boca	C04	2	0
Paladar	C05	1	1
Otras partes y las no especificadas de la boca	C06	0	3
Glándula parótida	C07	1	2
Amígdala	C09	3	1
Orofaringe	C10	0	1
Hipofaringe	C13	1	1
Otros sitios y los mal definidos del labio, la cavidad bucal y la faringe	C14	1	0
Esófago	C15	9	5
Estómago	C16	15	10
Intestino delgado	C17	4	2
Colon	C18	21	26
Unión rectosigmoidea	C19	4	2
Recto	C20	9	15
Ano y conducto anal	C21	0	2
Hígado y conductos biliares intrahepáticos	C22	12	11
Vesícula biliar	C23	2	2
Otras partes y las no especificadas de las vías biliares	C24	2	0
Páncreas	C25	8	11
Otros sitios y los mal definidos de los órganos digestivos	C26	0	1
Cavidad nasal y oído medio	C30	1	1
Laringe	C32	5	1
Bronquios y pulmón	C34	26	27
Corazón, mediastino y pleura	C38	0	2
Huesos, articulaciones y cartílagos articulares de los miembros	C40	4	2
Huesos, articulaciones y cartílagos articulares de otros sitios y de los no especificados	C41	1	0
Sistemas hematopoyético y reticuloendotelial	C42	55	61

Localización	CIE-O	Sexo	
		Hombre	Mujer
Piel	C44	5	6
Peritoneo y retroperitoneo	C48	1	1
Tejido conjuntivo, subcutáneo y de otros tejidos blandos	C49	5	3
Mama	C50	2	124
Cuello uterino	C53	1	50
Cuerpo uterino	C54	0	13
Útero, sai	C55	0	2
Ovario	C56	0	12
Otros órganos genitales femeninos y los no especificados	C57	0	1
Pene	C60	1	0
Glándula prostática	C61	56	4
Testículos	C62	1	0
Riñón	C64	3	3
Vejiga urinaria	C67	8	3
Ojo y anexos	C69	1	2
Encéfalo	C71	5	6
Glándula tiroides	C73	2	7
Sitios mal definidos y otros	C76	1	0
Ganglios linfáticos	C77	21	17
Sitio primario desconocido	C80	3	3

Anexo 2

Cuadro 2.1 Distribución de tumores por localización y tipo de caso, INCART, 2019

Localización	CIE-O	Analítico	No Analítico
Base de la lengua	C01	6	0
Otras partes y las no especificadas de la lengua	C02	7	0
Paladar	C05	4	1
Otras partes y las no especificadas de la boca	C06	8	1
Glándula parótida	C07	8	0
Amígdala	C09	22	2
Nasofaringe	C11	4	1
Hipofaringe	C13	2	0
Esófago	C15	11	1
Estómago	C16	30	7
Intestino delgado	C17	6	0
Colon	C18	81	19
Unión rectosigmoidea	C19	11	2
Recto	C20	39	4
Hígado y conductos biliares intrahepáticos	C22	36	5
Vesícula biliar	C23	4	1
Otras partes y las no especificadas de las vías biliares	C24	1	1
Páncreas	C25	7	6
Cavidad nasal y oído medio	C30	2	0
Senos paranasales	C31	3	0
Laringe	C32	17	3
Bronquios y pulmón	C34	71	18
Corazón, mediastino y pleura	C38	3	1
Huesos, articulaciones y cartílagos articulares de los miembros	C40	7	0
Huesos, articulaciones y cartílagos articulares de otros sitios no especificados	C41	4	1
Sistemas hematopoyético y reticuloendotelial	C42	103	39
Piel	C44	36	4
Peritoneo y retroperitoneo	C48	5	2

Localización	CIE-O	Analítico	No Analítico
Tejido conjuntivo, subcutáneo y de otros tejidos blandos	C49	16	2
Mama	C50	214	82
Vulva	C51	4	2
Vagina	C52	0	1
Cuello uterino	C53	94	14
Cuerpo uterino	C54	29	2
Útero, sai	C55	3	2
Ovario	C56	22	6
Otros órganos genitales femeninos y los no especificados	C57	0	1
Placenta	C58	1	0
Pene	C60	4	1
Glándula prostática	C61	162	37
Testículos	C62	1	0
Riñón	C64	2	1
Vejiga urinaria	C67	8	3
Ojo y anexos	C69	9	0
Meninges	C70	1	0
Encéfalo	C71	12	2
Glándula tiroides	C73	17	2
Ganglios linfáticos	C77	47	8
Sitio primario desconocido	C80	7	0

Cuadro 2.2 Distribución de tumores por localización y tipo de caso, IN-CART, 2020

Localización	CIE-O	Analítico	No analítico
Labio	C00	1	0
Base de la lengua	C01	1	0
Otras partes y las no especificadas de la lengua	C02	3	0
Piso de la boca	C04	1	0
Paladar	C05	2	0
Otras partes y las no especificadas de la boca	C06	4	0
Glándula parótida	C07	2	0
Otras glándulas salivales mayores y las no especificadas	C08	0	2
Amígdala	C09	4	0
Orofaringe	C10	1	2
Nasofaringe	C11	1	1
Otros sitios y los mal definidos del labio, la cavidad bucal y la faringe	C14	1	1
Esófago	C15	14	1
Estómago	C16	32	7
Intestino delgado	C17	7	1
Colon	C18	53	17
Unión rectosigmoidea	C19	5	1
Recto	C20	24	4
Año y conducto anal	C21	5	0
Hígado y conductos biliares intrahepáticos	C22	20	4
Vesícula biliar	C23	1	0
Páncreas	C25	8	1
Senos paranasales	C31	0	1
Laringe	C32	9	3
Bronquios y pulmón	C34	43	19
Timo	C37	1	0
Corazón, mediastino y pleura	C38	2	2
Huesos, articulaciones y cartílagos articulares de los miembros	C40	4	3
Huesos, articulaciones y cartílagos articulares de otros sitios y de los no especificados	C41	6	2
Sistemas hematopoyético y reticuloendotelial	C42	81	22
Piel	C44	20	4

Localización	CIE-O	Analítico	No analítico
Nervios periféricos y sistema nervioso autónomo	C47	1	1
Peritoneo y retroperitoneo	C48	5	1
Tejido conjuntivo, subcutáneo y de otros tejidos blandos	C49	15	2
Mama	C50	145	27
Vulva	C51	2	0
Vagina	C52	3	0
Cuello uterino	C53	76	17
Cuerpo uterino	C54	25	4
Útero, sai	C55	3	0
Ovario	C56	13	4
Placenta	C58	0	1
Pene	C60	3	1
Glándula prostática	C61	75	18
Riñón	C64	3	3
Vejiga urinaria	C67	9	3
Ojo y anexos	C69	4	0
Encéfalo	C71	10	2
Glándula tiroides	C73	14	1
Ganglios linfáticos	C77	33	6
Sitio primario desconocido	C80	9	2

Cuadro 2.3 Distribución de tumores por localización y tipo de caso, IN-CART, 2021

Localización	CIE-O	Analítico	No Analítico
Labio	C00	1	0
Base de la lengua	C01	0	3
Otras partes y las no especificadas de la lengua	C02	1	0
Piso de la boca	C04	2	0
Paladar	C05	2	0
Otras partes y las no especificadas de la boca	C06	2	1
Glándula parótida	C07	2	1
Amígdala	C09	4	0
Orofaringe	C10	0	1
Hipofaringe	C13	2	0
Otros sitios y los mal definidos del labio, la cavidad bucal y la faringe	C14	1	0
Esófago	C15	12	2
Estómago	C16	17	8
Intestino delgado	C17	3	3
Colon	C18	30	17
Unión rectosigmoidea	C19	5	1
Recto	C20	23	1
Año y conducto anal	C21	2	0
Hígado y conductos biliares intrahepáticos	C22	16	7
Vesícula biliar	C23	2	2
Otras partes y las no especificadas de las vías biliares	C24	1	1
Páncreas	C25	11	8
Otros sitios y los mal definidos de los órganos digestivos	C26	0	1
Cavidad nasal y oído medio	C30	2	0
Laringe	C32	5	1
Bronquios y pulmón	C34	27	26
Corazón, mediastino y pleura	C38	1	1
Huesos, articulaciones y cartílagos articulares de los miembros	C40	3	3
Huesos, articulaciones y cartílagos articulares de otros sitios y de los no especificados	C41	1	0
Sistemas hematopoyético y reticuloendotelial	C42	64	52

Localización	CIE-O	Analítico	No Analítico
Piel	C44	11	0
Peritoneo y retroperitoneo	C48	1	1
Tejido conjuntivo, subcutáneo y de otros tejidos blandos	C49	4	4
Mama	C50	104	22
Cuello uterino	C53	38	13
Cuerpo uterino	C54	10	3
Útero, SAI	C55	0	2
Ovario	C56	7	5
Otros órganos genitales femeninos y los no especificados	C57	1	0
Pene	C60	1	0
Glándula prostática	C61	46	14
Testículos	C62	1	0
Riñón	C64	3	3
Vejiga urinaria	C67	7	4
Ojo y anexos	C69	3	0
Encéfalo	C71	5	6
Glándula tiroides	C73	6	3
Sitios mal definidos y otros	C76	1	0
Ganglios linfáticos	C77	25	13
Sitio primario desconocido	C80	6	0

Anexo 3

Cuadro 3.1 Distribución de tumores por localización y estadio clínico, IN-CART, 2019

Localización de Tumor	CIE-O	Estadio clínico				
		I	II	III	IV	9*
Base de la lengua	C01	0	0	0	0	6
Otras partes y las no especificadas de la lengua	C02	0	0	0	1	6
Paladar	C05	0	0	0	0	5
Otras partes y las no especificadas de la boca	C06	0	0	0	0	9
Glándula parótida	C07	0	1	1	0	6
Amígdala	C09	0	2	1	0	21
Nasofaringe	C11	0	0	0	0	5
Hipofaringe	C13	0	0	0	0	2
Esófago	C15	0	0	0	0	12
Estómago	C16	0	1	1	0	35
Intestino delgado	C17	0	0	0	0	6
Colon	C18	1	2	1	3	93
Unión rectosigmoidea	C19	1	0	0	1	11
Recto	C20	1	1	0	0	41
Hígado y conductos biliares intrahepáticos	C22	0	0	0	1	40
Vesícula biliar	C23	0	0	0	0	5
Otras partes y las no especificadas de las vías biliares	C24	0	0	0	0	2
Páncreas	C25	0	0	0	0	13
Cavidad nasal y oído medio	C30	0	0	0	0	2
Senos paranasales	C31	0	0	0	0	3
Laringe	C32	0	1	3	0	16
Bronquios y pulmón	C34	1	2	1	4	81
Corazón, mediastino y pleura	C38	0	0	0	0	4
Huesos, articulaciones y cartílagos articulares de los miembros	C40	0	0	0	0	7
Huesos, articulaciones y cartílagos articulares de otros sitios y de los no especificados	C41	0	0	0	0	5
Sistemas hematopoyético y reticuloendotelial	C42	1	1	2	1	137
Piel	C44	0	0	0	2	38

Localización de Tumor	CIE-O	Estadio clínico				
		I	II	III	IV	9*
Peritoneo y retroperitoneo	C48	0	0	0	0	7
Tejido conjuntivo, subcutáneo y de otros tejidos blandos	C49	0	0	0	0	18
Mama	C50	10	19	30	10	227
Vulva	C51	0	0	0	0	6
Vagina	C52	0	0	1	0	0
Cuello uterino	C53	3	8	7	0	90
Cuerpo uterino	C54	1	1	0	0	29
Útero, SAI	C55	0	1	0	0	4
Ovario	C56	0	0	3	0	25
Otros órganos genitales femeninos y los no especificados	C57	0	0	0	0	1
Placenta	C58	0	0	0	0	1
Pene	C60	0	0	0	0	5
Glándula prostática	C61	2	2	0	5	190
Testículos	C62	0	0	0	0	1
Riñón	C64	0	0	0	1	2
Vejiga urinaria	C67	0	0	0	0	11
Ojo y anexos	C69	0	0	0	0	9
Meninges	C70	0	0	0	0	1
Encéfalo	C71	0	0	0	0	14
Glándula tiroides	C73	0	0	0	0	19
Ganglios linfáticos	C77	1	1	3	1	49
Sitio primario desconocido	C80	0	0	0	0	0

*Estadio clínico desconocido

Cuadro 3.2 Distribución de tumores por localización y estadio clínico, IN-CART, 2020

Localización de Tumor	CIE-10	Estadio clínico				
		I	II	III	IV	9*
Labio	C00	0	0	0	0	1
Base de la lengua	C01	0	0	0	0	1
Otras partes y las no especificadas de la lengua	C02	0	0	0	0	3
Piso de la boca	C04	0	0	0	0	1
Paladar	C05	0	0	0	0	2
Otras partes y las no especificadas de la boca	C06	0	1	0	0	3
Glándula parótida	C07	0	0	0	0	2
Otras glándulas salivales mayores y las no especificadas	C08	0	0	0	0	2
Amígdala	C09	0	0	0	0	4
Orofaringe	C10	0	0	0	0	3
Nasofaringe	C11	0	0	0	0	2
Otros sitios y los mal definidos del labio, la cavidad bucal y la faringe	C14	0	0	0	0	2
Esófago	C15	0	1	0	0	14
Estómago	C16	0	1	0	0	38
Intestino delgado	C17	0	0	0	0	8
Colon	C18	0	0	0	1	69
Unión rectosigmoidea	C19	0	0	0	0	6
Recto	C20	0	1	1	0	26
Año y conducto anal	C21	0	1	0	0	4
Hígado y conductos biliares intrahepáticos	C22	0	0	0	0	24
Vesícula biliar	C23	0	0	0	0	1
Páncreas	C25	0	0	0	0	9
Senos paranasales	C31	0	0	0	0	1
Laringe	C32	0	0	0	0	12
Bronquios y pulmón	C34	0	0	0	1	61
Timo	C37	0	0	0	0	1
Corazón, mediastino y pleura	C38	0	0	0	0	4
Huesos, articulaciones y cartílagos articulares de los miembros	C40	0	0	0	0	7
Huesos, articulaciones y cartílagos articulares de otros sitios y de los no especificados	C41	0	0	0	0	8

Localización de Tumor	CIE-10	Estadio clínico				
		I	II	III	IV	9*
Sistemas hematopoyético y reticuloendotelial	C42	0	1	1	0	101
Piel	C44	0	0	1	0	23
Nervios periféricos y sistema nervioso autónomo	C47	0	0	0	0	2
Peritoneo y retroperitoneo	C48	0	0	0	0	6
Tejido conjuntivo, subcutáneo y de otros tejidos blandos	C49	0	0	0	0	17
Mama	C50	0	1	3	1	167
Vulva	C51	0	0	0	0	2
Vagina	C52	0	0	0	0	3
Cuello uterino	C53	0	8	3	0	82
Cuerpo uterino	C54	1	1	0	0	27
Útero, sai	C55	0	0	0	0	3
Ovario	C56	0	0	0	0	17
Placenta	C58	0	0	0	0	1
Pene	C60	0	0	0	0	4
Glándula prostática	C61	0	1	0	1	91
Riñón	C64	0	0	0	0	6
Vejiga urinaria	C67	0	0	0	0	12
Ojo y anexos	C69	0	0	0	0	4
Encéfalo	C71	0	0	0	0	12
Glándula tiroides	C73	0	0	0	0	15
Ganglios linfáticos	C77	0	0	0	0	39
Sitio primario desconocido	C80	0	0	0	0	11

*Estadio clínico desconocido

Cuadro 3.3 Distribución de tumores por localización y estadio clínico, IN-CART, 2021

Localización de Tumor	CIE-10	Estadio clínico				
		I	II	III	IV	9*
Labio	C00	0	0	0	0	1
Base de la lengua	C01	0	0	0	0	3
Otras partes y las no especificadas de la lengua	C02	0	0	0	0	1
Piso de la boca	C04	0	0	0	0	2
Paladar	C05	0	0	0	0	2
Otras partes y las no especificadas de la boca	C06	0	0	0	0	3
Glándula parótida	C07	0	0	0	0	3
Amígdala	C09	0	2	0	0	2
Orofaringe	C10	0	0	0	0	1
Hipofaringe	C13	0	0	0	0	2
Otros sitios y los mal definidos del labio, la cavidad bucal y la faringe	C14	0	0	0	0	1
Esófago	C15	0	0	0	0	14
Estómago	C16	0	1	0	0	24
Intestino delgado	C17	0	0	0	0	6
Colon	C18	0	0	0	0	47
Unión rectosigmoidea	C19	0	0	0	0	6
Recto	C20	0	1	1	0	22
Año y conducto anal	C21	0	0	0	0	2
Hígado y conductos biliares intrahepáticos	C22	0	0	0	0	23
Vesícula biliar	C23	0	0	0	0	4
Otras partes y las no especificadas de las vías biliares	C24	0	0	0	0	2
Páncreas	C25	0	0	0	0	19
Otros sitios y los mal definidos de los órganos digestivos	C26	0	0	0	0	1
Cavidad nasal y oído medio	C30	0	0	0	0	2
Laringe	C32	0	0	0	0	6
Bronquios y pulmón	C34	0	0	0	0	53
Corazón, mediastino y pleura	C38	0	0	0	0	2
Huesos, articulaciones y cartílagos articulares de los miembros	C40	0	0	0	0	6

Localización de Tumor	Estadio clínico					
	CIE-10	I	II	III	IV	9*
Huesos, articulaciones y cartílagos articulares de otros sitios y de los no especificados	C41	0	0	0	0	1
Sistemas hematopoyético y reticuloendotelial	C42	0	0	1	0	115
Piel	C44	0	0	0	0	11
Peritoneo y retroperitoneo	C48	0	0	0	0	2
Tejido conjuntivo, subcutáneo y de otros tejidos blandos	C49	0	0	0	0	8
Mama	C50	0	2	0	0	124
Cuello uterino	C53	0	2	3	0	46
Cuerpo uterino	C54	0	0	0	0	13
Útero, SAI	C55	0	0	0	0	2
Ovario	C56	0	0	0	0	12
Otros órganos genitales femeninos y los no especificados	C57	0	0	0	0	1
Pene	C60	0	0	0	0	1
Glándula prostática	C61	0	1	0	1	58
Testículos	C62	0	0	0	0	1
Riñón	C64	0	0	0	0	6
Vejiga urinaria	C67	0	0	0	0	11
Ojo y anexos	C69	0	0	0	0	3
Encéfalo	C71	0	0	0	0	11
Glándula tiroides	C73	0	0	0	0	9
Sitios mal definidos y otros	C76	0	0	0	0	1
Ganglios linfáticos	C77	0	0	0	0	38
Sitio primario desconocido	C80	0	0	0	0	6

*Estadio clínico desconocido

Anexo 4

Cuadro 4.1. Tasas de incidencia y mortalidad por cáncer, ambos sexos, todos los cánceres, 0-85+, INCART.

Año	Nuevos Casos					Defunciones					
	Cantidad	IC ^a	Tasa Cruda ^b	Tasa Estandarizada por Edad ^c	Incidencia acumulada	Año	Cantidad	IC ^a	Tasa Cruda ^b	Tasa Estandarizada por Edad ^c	Incidencia acumulada
2017	1,261	[12.16-13.63]	12.4	12.88	0.00012	2017	404	[3.69-4.53]	3.97	4.07	0.000040
2018	1,468	[13.77-15.33]	14.29	14.54	0.00014	2018	321	[2.82-3.49]	3.12	3.14	0.000031
2019	1,481	[13.46-14.96]	14.29	14.21	0.00014	2019	467	[4.05-4.91]	4.5	4.48	0.000045
2020	1,023	[9.00-10.17]	9.79	9.57	0.00010	2020	396	[3.34-4.09]	3.79	3.68	0.000038
2021	854	[7.26-8.33]	8.1	7.78	0.00008	2021	513	[4.27-5.09]	4.86	4.66	0.000049

^a Índice de confianza 95%.

^b Tasa cruda por 100,000 habitantes

^c Tasa estandarizada por edad por el método directo con población mundial por 100,000 habitantes

Fuentes:

Registro de cáncer, Dirección de Investigación y Gestión del Conocimiento del Instituto Nacional del Cáncer Rosa Emilia Sánchez Pérez de Tavares (INCART)

Centro de Anatomía Patológica, Instituto Nacional del Cáncer Rosa Emilia Sánchez Pérez de Tavares (INCART)

Oficina Nacional de Estadística- Estimaciones y proyecciones de la población total, 2000-2030

Anexo 5

Figura 5.1. Recomendaciones generales para prevenir el cáncer.



Fuente: Miquel Vila Sabaté. Cáncer: preguntas y respuestas. Quironprevención

Anexo 6

Recursos Complementarios

Indicadores Básicos de Salud

Ministerio de Salud Pública de la República Dominicana

Diálogo Regional de la UICC Para América Latina – Cáncer en las Mujeres: compartir experiencias, reforzar redes regionales

Unión Internacional Contra el Cáncer

Evaluación de la calidad de los datos en el registro de cáncer: principios y métodos

Freddie Bray, D. Max Parkin – Revista Europea del Cáncer

Detección de Cáncer en los Cinco Continentes (CanScreen5)

*Agencia Internacional para la Investigación del Cáncer (IARC)
Organización Mundial de la Salud (OMS)*

Portal de Datos sobre Enfermedades No Transmisibles, Salud Mental, y Causas Externas

Organización Mundial de la Salud (OMS)

Observatorio Global de la Salud

Organización Mundial de la Salud (OMS)

Esta edición de
**INDICADORES ESTADÍSTICOS
Y EPIDEMIOLÓGICOS 2017-2021**
se terminó de imprimir en el mes de agosto del 2023
en los talleres gráficos de Editora Búho, S.R.L.
Santo Domingo, República Dominicana.